

**(12) DEMANDE INTERNATIONALE PUBLIÉE EN VERTU DU TRAITÉ DE COOPÉRATION
EN MATIÈRE DE BREVETS (PCT)**

**(19) Organisation Mondiale de la Propriété
Intellectuelle**
Bureau international



(43) Date de la publication internationale
30 mai 2002 (30.05.2002)

PCT

(10) Numéro de publication internationale
WO 02/41691 A2

(51) Classification internationale des brevets⁷ : **A01K**

Grenoble (FR). **JOB, Didier** [FR/FR]; 22 rue du Trident, F-38100 Grenoble (FR). **DENARIER, Eric** [FR/FR]; Appartement 8224, 170 val de l'Arlequin, F-38100 Grenoble (FR). **BOSC, Christophe** [FR/FR]; 1 avenue Albert Ier de Belgique, F-38000 Grenoble (FR). **VERNET, Muriel** [FR/FR]; 118 cours Jean Jaurès, F-38000 Grenoble (FR).

(21) Numéro de la demande internationale :
PCT/FR01/03701

(74) Mandataire : **CABINET ORES**; 6 avenue de Messine, F-75008 Paris (FR).

(22) Date de dépôt international :
23 novembre 2001 (23.11.2001)

(81) États désignés (national) : CA, IL, JP, US.

(30) Données relatives à la priorité :
00/15240 24 novembre 2000 (24.11.2000) FR

(84) États désignés (régional) : brevet européen (AT, BE, CH, CY, DE, DK, ES, FI, FR, GB, GR, IE, IT, LU, MC, NL, PT, SE, TR).

(71) Déposants (pour tous les États désignés sauf US) : **COMMISSARIAT A L'ENERGIE ATOMIQUE** [FR/FR]; 31-33 rue de la Fédération, F-75015 Paris (FR). **INSTITUT NATIONAL DE LA SANTE ET DE LA RECHERCHE MEDICALE-INSERM** [FR/FR]; 101 rue de Tolbiac, F-75654 Cedex 13 Paris (FR).

Publiée :

— sans rapport de recherche internationale, sera republiée dès réception de ce rapport

En ce qui concerne les codes à deux lettres et autres abréviations, se référer aux "Notes explicatives relatives aux codes et abréviations" figurant au début de chaque numéro ordinaire de la Gazette du PCT.

(72) Inventeurs; et

(75) Inventeurs/Déposants (pour US seulement) : **ANDRIEUX, Annie** [FR/FR]; 22 rue Malliaud, F-38100



(54) Title: TRANSGENIC OR RECOMBINANT NON-HUMAN MAMMALS AND THEIR USES IN SCREENING PSYCHOACTIVE MEDICINES

(54) Titre : MAMMIFERES NON-HUMAINS TRANSGENIQUES OU RECOMBINANTS ET LEURS APPLICATIONS DANS LE CRIBLAGE DE MEDICAMENTS PSYCHOACTIFS

(57) Abstract: The invention concerns transgenic or recombinant non-human mammals, wherein the expression of the gene coding for a microtubule associated protein (MAP) is modified (STOP gene) (inactivation or overexpression) and their uses in screening medicines useful in schizophrenia and schizo-affective disorders, with anxious, paranoiac or depressive component.

WO 02/41691 A2

(57) Abrégé : Mammifères non-humains transgéniques ou recombinants, dans lesquels l'expression du gène codant pour une protéine associée aux microtubules (MAP) est modifiée (gène STOP) (inactivation ou surexpression) et leurs applications dans le criblage de médicaments utiles dans la schizophrénie et les désordres schizoaffectifs, à composante anxieuse, paranoïaque ou dépressive.

**MAMMIFERES NON-HUMAINS TRANSGENIQUES OU RECOMBINANTS
ET LEURS APPLICATIONS DANS LE CRIBLAGE DE MEDICAMENTS
PSYCHOACTIFS.**

La présente invention est relative à des mammifères non-humains
5 transgéniques ou recombinants, dans lesquels l'expression du gène codant pour une protéine associée aux microtubules (MAP) est modifiée (inactivation ou surexpression) et à leurs applications dans le criblage de médicaments utiles dans l'anxiété, la schizophrénie et les désordres schizoaffectifs, à composante anxieuse, paranoïaque ou dépressive.

10 Les microtubules des cellules de mammifères sont soumis à une régulation : lors de l'interphase, ils organisent l'espace intracellulaire et sont responsables du transport intracellulaire d'organelles ; lors de la mitose, ils se réorganisent pour former le fuseau mitotique, responsable de la répartition des chromosomes entre les deux cellules filles.

15 Les microtubules, assemblés *in vitro* à partir de solutions de tubuline purifiée, sont labiles et rapidement dépolymérisés par l'exposition au froid.

Des comportements semblables sont observés *in vivo*, mais sont, dans ce cas, régulés par le métabolisme cellulaire. Par exemple, la dépolymérisation des microtubules est favorisée par la phosphoprotéine stathmine, qui lie et séquestre 20 les dimères de tubuline, alors que la stabilisation des microtubules est médiée par les protéines associées aux microtubules (MAPs), qui s'associent aux polymères.

Les neurones contiennent des quantités massives de microtubules et ceux-ci sont en quasi-totalité stables au froid. A partir de préparations de microtubules stables neuronaux, une protéine calmoduline-régulée capable de stabiliser totalement 25 les microtubules (c'est-à-dire apte à supprimer leur activité dynamique et à les rendre résistants au froid) a été isolée ; il s'agit de la protéine STOP (pour *Stable Tubulin Only Polypeptide*). La nature moléculaire de cette protéine est longtemps restée énigmatique. Un pas décisif a été franchi en 1996 lorsque l'ADNc codant pour cette protéine STOP a été cloné (Christophe Bosc et al., P.N.A.S., 1996, 93, 2125-2130).

30 La protéine STOP, qui peut bloquer de manière réversible la dynamique des microtubules en abolissant complètement la sensibilité des microtubules neuronaux au froid et aux drogues dépolymérisantes, comporte deux domaines répétés

remarquables : un domaine central composé de cinq répétitions quasi-parfaites d'un motif de 46 acides aminés et un domaine carboxy-terminal formé de vingt huit répétitions imparfaites d'un motif de 11 acides aminés. Ces deux domaines répétés sont séparés par une séquence contenant en abondance des résidus lysine et arginine
5 (domaine KR) et par une séquence de liaison ou séquence *linker*. Le domaine N-terminal de la protéine STOP contient des séquences riches en proline qui constituent des sites de liaison potentiels avec des domaines SH3 (*src homology domain 3*).

La structure en exons du gène STOP de souris a été élucidée (Eric Denarier et al., B.B.R.C., 1998, 243, 791-796). Cette structure correspond à la structure en domaines de la protéine : l'exon 1 code pour le domaine N-terminal y compris le domaine répété central, l'exon 2 code pour la séquence *linker*, l'exon 3 code pour le domaine KR et l'exon 4 code pour la région répétée carboxy-terminale.

La distribution et le rôle de la protéine STOP dans les neurones ont été récemment caractérisés (Laurent Guillaud et al., *Cell Biol.*, 1998, 142, 1, 167-179).
15 La distribution de la protéine a été étudiée au niveau ultrastructural dans des cellules neuronales embryonnaires, les cellules DRG (*Dorsal Root Ganglia*), qui peuvent se différencier *in vitro* et a révélé l'existence d'isoformes de cette protéine. Une isoforme majeure (protéine E-STOP) a été caractérisée : cette isoforme apparaît plus tôt dans le développement que la protéine STOP standard ou protéine N-STOP et est majoritaire
20 dans le cerveau embryonnaire. L'ADNc d'E-STOP présente la séquence correspondant au numéro d'accession Genbank AJ002556. La protéine E-STOP diffère de la protéine N-STOP par la délétion des séquences carboxy-terminales répétées, codées par l'exon 4 ; il s'agit donc d'un variant d'épissage de la protéine STOP. Une autre isoforme, la protéine F-STOP a été observée dans des fibroblastes de souris (cellules 3T3). Cette
25 protéine, de masse moléculaire apparente de 45 kDa, est beaucoup plus petite que la protéine N-STOP (115 kDa) ou que la protéine E-STOP (88 kDa). Le clonage et le séquençage de l'ADNc correspondant (Genbank Y16032 et Eric Denarier et al., *P.N.A.S.*, 1998, 95, 6055-6060) ont montré que les séquences codées par les exons 3 et 4 (KR et répétitions carboxy-terminales) sont absentes dans la protéine F-STOP. De
30 plus, la majeure partie du domaine N-terminal de la protéine N-STOP, située en amont des répétitions centrales et codée par l'exon 1, est absente dans la protéine F-STOP. La protéine F-STOP comprend donc les séquences codées par l'exon 2 et une partie de

celles correspondant à l'exon 1, incluant les répétitions centrales. Malgré de multiples délétions, la protéine F-STOP a les mêmes propriétés fonctionnelles de base que la protéine N-STOP : la protéine F-STOP se lie à la calmoduline et a la capacité d'induire une stabilisation au froid des microtubules, *in vitro* et *in vivo*. Contrairement à la protéine N-STOP qui semble presque en permanence associée aux microtubules, la protéine F-STOP reste dans la phase soluble dans les cellules en interphase et ne s'associe aux microtubules que lors de l'exposition au froid. Apparemment, des mécanismes de régulation empêchent la protéine F-STOP d'interagir avec le cytosquelette microtubulaire en interphase, permettant ainsi une dynamique microtubulaire rapide, et ces régulations sont inhibées dès que les cellules sont exposées à des températures basses. Dans les cellules mitotiques, la protéine F-STOP est associée aux fuseaux de microtubules, à température physiologique.

Ainsi, une seule et même classe de protéines, les protéines STOP, est responsable de la stabilisation des microtubules dans plusieurs types cellulaires différents.

Les formes N, E et F de la protéine STOP ne sont pas les seules isoformes existantes ; en effet, les protéines STOPs sont présentes dans de nombreux tissus, en particulier dans les poumons qui contiennent une isoforme spécifique. De même, la forme F-STOP paraît présente dans des tissus variés. Par contre, les protéines N-STOP et E-STOP sont, semble-t-il, strictement neuronales (C. Bosc et al., *Cell Struct. Function*, 1999, **24**, 393-399).

Il semblerait que la stabilité des microtubules soit importante pour le développement et le maintien de la morphologie et de la fonction des neurones (Laurent Guillaud et al., précité). Ainsi, il a été montré que l'inhibition des protéines STOP *in vitro* par l'injection d'anticorps bloquants spécifiques, supprime la stabilité des microtubules au froid, dans des cellules neuronales ou non-neuronales (Eric Denarier, P.N.A.S., 1998, précité). Il a également été montré que l'inhibition des protéines STOP *in vitro* dans des neurones, altère la différenciation neuronale (Laurent Guillaud et al., précité).

Les Inventeurs ont trouvé, de manière inattendue, que l'invalidation des différentes isoformes de la protéine STOP permet d'obtenir des animaux et

notamment des souris particulièrement utiles pour le criblage des médicaments psychoactifs.

La présente invention a en conséquence pour objet un mammifère non-humain recombinant, porteur d'au moins un allèle modifié du gène codant une protéine STOP.

On entend par gène STOP modifié, aussi bien un gène altéré (animaux *knock-in*), qu'un gène inactivé totalement ou partiellement, inhibé ou tronqué (animaux *knock-out*).

De manière avantageuse, lesdits animaux recombinants ou transgéniques sont susceptibles d'être obtenus par recombinaison homologue dans une cellule souche embryonnaire :

- soit par insertion d'au moins un codon STOP ou d'une séquence anti-sens,
- soit par délétion d'une partie ou de tout le gène natif (région codante ou régions non codantes, promoteur, séquences régulatrices en 3', activateurs),
- soit par substitution de séquence.

De manière plus précise, une construction conforme à l'invention est avantageusement sélectionnée dans le groupe constitué par :

- des constructions contenant une séquence codant pour une protéine STOP anti-sens, qui va bloquer l'expression de la séquence STOP native,
- des constructions comprenant la région du promoteur STOP (positions 1-3400 de la figure 2) en combinaison avec un gène rapporteur ou avec la région codante STOP. Des marqueurs de sélection positive ou négative peuvent avantageusement être inclus, tel que lacZ, dont la régulation de l'expression entraînera la détection d'un changement du phénotype. Un gène rapporteur préféré est le gène de la GFP (*green fluorescent protein*).
- des constructions comprenant au moins une portion du gène STOP (région codante ou régions non codantes, promoteur, séquences régulatrices en 3', activateurs) incluant la/les modifications souhaitées (délétions, mutations etc..) ; de manière avantageuse, les constructions d'ADN utilisées pour une intégration ciblée

doivent inclure une région présentant une homologie avec la séquence cible (gène STOP), pour induire une recombinaison.

- des constructions comprenant au moins une portion du gène STOP, liée de manière opérationnelle à un promoteur, qui peut être constitutif ou inductible et
- 5 à d'autres séquences régulatrices nécessaires pour l'expression dans l'animal hôte. Par lier de manière opérationnelle, on entend qu'une séquence d'ADN et une séquence régulatrice sont associées de telle manière qu'elles permettent l'expression du gène lorsque les molécules appropriées, par exemple les protéines activatrices transcriptionnelles, sont liées aux séquences régulatrices.

10 On entend par gène STOP, au sens de la présente invention, les gènes STOP obtenus à partir de n'importe quel mammifère tel que rat, souris, bœuf ou homme, ou du poulet ou du poisson fugu ainsi que les différentes formes mutées dudit gène STOP ; il inclut également les différents cadres ouverts de lecture, les exons, les introns, les régions non-codantes en 3' et en 5' impliquées dans la régulation de 15 l'expression de ce gène, jusqu'à environ 4 kb de part et d'autre de la région codante, le promoteur et les activateurs.

De manière préférée, les constructions sont sélectionnées parmi les constructions suivantes :

- des constructions qui incluent un fragment de la séquence 20 génomique codant pour une protéine STOP comprise entre le codon d'initiation et le codon STOP (C. Bosc et al., E. Denarier et al., L. Guillaud et al. précités), incluant notamment tous les introns normalement présents dans le chromosome natif. Elle peut inclure les régions non traduites en 3' et en 5' retrouvées dans l'ARNm mature. Elle peut, en outre, inclure des séquences de régulation de la transcription ou de la traduction (promoteur, activateur...), incluant environ 4 kb, des régions génomiques flanquantes en 3' ou en 5'.

- des constructions ne comprenant pas la région comprise entre les positions 4118 et 5131 de la séquence génomique codant pour une protéine STOP.

- des constructions comprenant 4,1 kb du gène STOP (correspondant 30 aux positions 1-4118 de la figure 2), le gène codant pour la β-galactosidase, placé sous le contrôle du promoteur STOP endogène, un gène de résistance à la néomycine sous le contrôle du promoteur PGK, 1,57 kb de séquence du gène STOP (correspondant

aux positions 5131-6701 de la séquence de la figure 2) et enfin le gène de la thymidine kinase, sous le contrôle du promoteur PGK.

Conformément à l'invention, les animaux transgéniques obtenus constituent deux groupes, les animaux *knock-out* et les animaux *knock-in*.

5 Dans le cadre de la présente invention :

- les animaux *knock-out* ont une perte de fonction partielle ou complète dans un ou les deux allèles du gène codant pour une protéine STOP endogène ; un tel gène modifié n'induit plus d'expression de la protéine STOP correspondante. Les animaux *knock-out* selon l'invention incluent également des animaux
10 *knock-out* conditionnels : (i) modification du gène codant pour une protéine STOP qui n'intervient qu'après exposition de l'animal à une substance qui induit la modification dudit gène, (ii) introduction d'une enzyme qui induit la recombinaison au niveau d'un site du gène codant pour une protéine STOP (Cre dans le système Cre-lox, par exemple) ou (iii) autre méthode qui induit une modification du gène codant pour une
15 protéine STOP après la naissance.

- les animaux *knock-in* présentent un transgène qui altère le gène endogène codant pour une protéine STOP. Un animal *knock-in* correspond à une altération dans les cellules de l'hôte qui entraîne une expression modifiée ou une fonction modifiée du gène STOP natif. Une expression augmentée ou diminuée peut être ainsi
20 obtenue par introduction d'une copie additionnelle du gène STOP ou par insertion opérationnelle d'une séquence de régulation qui produit une expression significativement augmentée d'une copie endogène du gène STOP. Ces changements peuvent être soit constitutifs, soit conditionnels, en fonction de la présence d'un activateur ou d'un répresseur. Le gène exogène est soit obtenu à partir d'une espèce différente de celle de
25 l'animal hôte ou est modifié au niveau de sa séquence codante ou non codante. Le gène introduit peut être un gène du type sauvage ou une séquence manipulée, par exemple présentant des délétions, des substitutions ou des insertions dans les régions codantes ou non codantes.

Les deux méthodes peuvent être combinées : dans un premier temps
30 le gène d'origine est invalidé, puis dans un deuxième temps, une forme modifiée dudit gène est introduite dans ledit animal.

Les animaux recombinants ou transgéniques ainsi obtenus comprennent une séquence d'acide nucléique exogène, présente, soit sous la forme d'un élément extra-chromosomique, soit intégrée de manière stable dans tout ou une partie des cellules dudit animal, plus particulièrement les cellules germinales.

5 De manière surprenante, les souris homozygotes contenant les deux allèles du gène STOP inactivés (souris *knock-out* ou STOP KO (-/-)), obtenues par croisement d'animaux hétérozygotes sont viables et ne présentent aucune modification anatomique du cerveau ; en revanche, elles présentent des déficits de la plasticité synaptique, associés à des troubles majeurs multiples du comportement comprenant
10 un défaut complet de maternage, une profonde anxiété, une incapacité à reconnaître les objets et des interactions sociales anormales.

De façon très intéressante, ces troubles multiples du comportement peuvent être améliorés par l'administration prolongée de neuroleptiques.

En conséquence, les souris dans lesquelles le gène STOP a été
15 inactivé (souris STOP KO (-/-)) constituent un modèle particulièrement utile pour l'étude et le traitement des maladies impliquant un défaut synaptique qui sont sensibles aux neuroleptiques, notamment la schizophrénie et les désordres schizoaffectifs à composante anxieuse, paranoïaque ou dépressive.

La présente invention a également pour objet l'utilisation dudit
20 mammifère non-humain recombinant porteur d'au moins un allèle du gène codant pour une protéine STOP modifié, pour la sélection ou le criblage de produits psychotropes.

La présente invention a également pour objet des molécules d'acide nucléique comprenant la séquence d'un allèle modifié du gène codant pour une
25 protéine STOP tel que défini ci-dessus (notamment les séquences de gènes STOP inactivés), à l'exclusion des séquences correspondant aux numéros d'accession GENBANK AJ002556 et Y16032.

Les séquences STOP selon l'invention sont notamment obtenues par mutation, de différentes manières connues en elles-mêmes, pour générer les modifications ciblées recherchées : substitutions, insertions ou délétions au niveau d'un domaine ou d'un exon, qui conduisent à l'expression d'une protéine STOP inactivée

ou à l'absence d'expression de protéine STOP. Les délétions peuvent inclure des modifications importantes : délétion d'un domaine ou d'un exon (exon 1 notamment).

Les fragments desdites séquences sont avantageusement obtenus par synthèse chimique d'oligonucléotides, par digestion enzymatique ou par amplification 5 PCR par exemple.

Lesdits fragments comprennent au moins 15 nucléotides, de préférence environ 18 nucléotides et de manière préférée au moins 50 nucléotides.

De tels fragments sont utiles comme amores de PCR ou pour le criblage par hybridation, des clones ES recombinants ou des animaux recombinants.

10 Lesdites amores ou sondes de criblage de clones ES recombinants ou d'animaux recombinants sont caractérisées en ce qu'elles sont sélectionnées dans le groupe constitué par des fragments d'un gène STOP comprenant au moins 15 nucléotides, de préférence environ 18 nucléotides et de manière préférée au moins 50 nucléotides. De telles amores ou sondes permettent de cibler des cellules ou des 15 animaux comprenant l'une des séquences modifiées, telles que définies ci-dessus.

De manière préférée, les amores suivantes sont utilisées pour le criblage :

1. oligonucléotide A4080 : positions 4067-4095 de la figure 2 (SEQ ID NO:3) ;
2. oligonucléotide 770 : positions 4488-4515 de la figure 2 (SEQ ID NO:4) ;
3. oligonucléotide AS2 : positions 6680-6701 de la figure 2 (SEQ ID NO:5).

Des fragments plus importants (plus de 100 nucléotides) sont utiles 25 pour la production des protéines STOP.

Les séquences homologues aux séquences STOP clonées sont identifiées par différentes méthodes connues de l'Homme du métier.

La similarité des séquences d'acides nucléiques est détectée par 30 hybridation dans des conditions de faible stringence, par exemple à 50°C et 10 x SSC (0,9 M de tampon salin et 0,09 M de citrate de sodium).

Lesdites séquences restent associées lorsqu'elles sont soumises à un lavage à 55°C dans un tampon 1 x SSC.

L'identité des séquences peut être déterminée par hybridation dans des conditions stringentes, par exemple à 50°C au plus et 0,1 x SSC (9 mM de tampon salin/0,9 mM de citrate de sodium).

La présente invention a également pour objet des sondes de détection et de criblage de l'ADN génomique par hybridation des clones ES recombinants ou des animaux recombinants, caractérisées en ce qu'elles sont constituées par un fragment du même gène STOP, situé en dehors (amont ou aval) de la séquence du gène STOP issue du vecteur de recombinaison mis en œuvre (zone de recombinaison homologue).

De manière avantageuse, ladite sonde correspond aux positions 700-1881 de la figure 3 (SEQ ID NO:6).

La présente invention a également pour objet un procédé de criblage et de sélection de molécules utiles dans le traitement de la schizophrénie et des désordres schizoaffectifs à composante anxieuse, paranoïaque ou dépressive, caractérisé en ce qu'il comprend au moins les étapes suivantes :

- la mise en contact *in vitro* d'au moins une substance à cribler avec un échantillon biologique constitué par un extrait de cellules ou des tranches d'organes, de préférence neuronales ou cérébrales, obtenu à partir d'au moins un mammifère non-humain recombinant porteur d'au moins un allèle modifié du gène codant pour une protéine STOP,

- la mesure de l'action de ladite substance à cribler sur lesdites cellules ou tranches d'organes et

- la comparaison des valeurs obtenues avec celles des cellules ou des tranches d'organes d'un échantillon biologique obtenu à partir d'un mammifère non-humain du même type, porteur de deux allèles sauvages du gène codant pour une protéine STOP.

Les substances testées sont notamment obtenues à partir de banques de substances (naturelles ou synthétiques).

Selon un mode de mise en œuvre avantageux dudit procédé, ladite mesure est effectuée à l'aide d'un test de liaison protéine-protéine ; dans un tel cas, une ou plusieurs des molécules mises en œuvre peuvent être marquées par un

marqueur ; ledit marqueur peut fournir un signal détectable soit directement, soit indirectement.

Parmi les marqueurs utilisables, on peut citer par exemple, les radioisotopes, les molécules fluorescentes, chemiluminescentes, les enzymes, les 5 molécules de liaison spécifique, des particules telles que des particules magnétiques, etc...

Des molécules de liaison spécifique incluent des paires de molécules telles que la biotine et la streptavidine, la digoxine et l'anti-digoxine, etc...

10 Pour les membres de liaison spécifique, le membre complémentaire sera marqué avec une molécule adaptée à la détection, conformément aux méthodes connues.

Beaucoup d'autres réactifs peuvent être utilisés dans un tel test de criblage ; il inclut par exemple des sels, des protéines neutres telles que l'albumine, des détergents, etc..., qui sont utilisés pour faciliter une liaison protéine-protéine optimale et/ou réduire les interactions non-spécifiques ou de bruit de fond. 15

Les réactifs qui améliorent l'efficacité de l'essai, tels que les inhibiteurs de protéases, les inhibiteurs de nucléases, les agents anti-microbiens peuvent également être utilisés.

20 Le mélange de composants est ajouté dans n'importe quel ordre, de manière à permettre la liaison recherchée.

Les incubations sont réalisées à température convenable, usuellement entre 4°C et 40°C.

25 Les périodes d'incubation peuvent varier ; elles sont habituellement comprises entre 0,1 et 1 h et sont optimisées dans cette gamme de temps, notamment pour faciliter un criblage rapide.

Les anticorps spécifiques des polymorphismes des protéines STOP peuvent être utilisés dans des immunoessais de criblage, plus particulièrement pour détecter la liaison de substrat ou de protéine STOP ou pour confirmer l'absence ou la présence d'une protéine STOP dans une cellule ou un échantillon, tel qu'un échantillon biologique. 30

Selon un autre mode de mise en œuvre avantageux dudit procédé, ladite mesure est effectuée par détection de la variation d'intensité d'un signal

électrique ; en effet, on peut observer en ce qui concerne les cellules nerveuses des animaux recombinants selon l'invention, une altération de l'organisation de la synapse (positionnement et transport de neurorécepteurs) chez les animaux recombinants selon l'invention.

5 La présente invention est également relative à un procédé de criblage et de sélection de molécules utiles dans le traitement de l'anxiété, la schizophrénie et des désordres schizoaffectifs à composante anxiuse, paranoïaque ou dépressive, lequel procédé est caractérisé en ce qu'il comprend :

10 - l'administration à au moins un mammifère non-humain recombinant porteur d'au moins un allèle modifié du gène codant une protéine STOP d'au moins une substance à cribler ; et

- l'étude comportementale dudit mammifère par rapport à une série d'animaux témoins et/ou la détermination de la localisation des médicaments après leur administration.

15 De tels animaux peuvent avantageusement servir de modèles pour le criblage de molécules psychoactives, présentant une faible toxicité chez l'homme.

La présente invention a également pour objet un vecteur de recombinaison homologue d'un gène codant pour une protéine STOP, caractérisé en ce qu'il comprend une séquence nucléotidique d'un gène STOP modifié codant pour une protéine STOP inactivée, de préférence tronquée au niveau d'au moins l'un des exons, notamment l'exon 1.

20 La présente invention a également pour objet une méthode de production de mammifères non-humains recombinants porteurs d'au moins un allèle du gène codant pour une protéine STOP inactivée, caractérisée en ce que :

25 - l'on tronque un allèle du gène codant pour une protéine STOP ;
- l'on introduit ladite séquence modifiée dans un segment de l'ADN génomique d'un mammifère non-humain du même type, associé à un marqueur approprié, de manière à obtenir une séquence marquée M, contenant ledit allèle modifié ;

30 - l'on intègre ladite séquence M, *in vitro*, dans les cellules souches de lignées germinales d'embryons d'un mammifère non-humain par transfection et on

sélectionne les cellules ayant ledit allèle par des évènements de recombinaison homologue ; puis

- l'on réinjecte lesdites cellules souches sélectionnées à un embryon réimplanté chez un mammifère non-humain du même type afin d'obtenir des animaux 5 chimériques ; et

- l'on obtient à la génération F1 des mammifères non-humains recombinés hétérozygotes et à la génération F2 des mammifères non-humains combinés homozygotes STOP $-/-$, reconnaissables à la présence du marqueur et des souris dites sauvages $(+/+)$.

10 La présente invention a également pour objet l'utilisation des substances sélectionnées à l'aide du procédé de criblage tel que défini ci-dessus, pour la préparation d'un médicament utile dans le traitement de la schizophrénie et des désordres schizoaffectifs à composante anxieuse, paranoïaque ou dépressive.

15 Outre les dispositions qui précèdent, l'invention comprend encore d'autres dispositions, qui ressortiront de la description qui va suivre, qui se réfère à des exemples de mise en œuvre du procédé objet de la présente invention, avec référence aux dessins annexés dans lesquels :

20 - la figure 1 illustre l'organisation génomique du gène STOP au niveau de l'exon 1 et l'établissement de souris *knock-out* pour le gène STOP [souris STOP KO $(-/-)$] par altération de l'exon 1. **A** : carte de restriction d'un fragment du gène STOP (allèle sauvage) utilisé pour la production d'un fragment génomique d'homologie, structure du vecteur de recombinaison homologue ou vecteur de ciblage ptSTOP, et structure prédite de l'allèle mutant. EV : EcoRV ; EI : EcoRI ; TK : thymidine kinase ; pgk : phosphoglycérate kinase ; néo : néomycine ; NTR : 25 *Nucleotide Translation Region*. **B** : profils Southern blot du gène STOP chez des souris sauvages $(+/+ ; 8 \text{ kb})$ et hétérozygotes $(+/- ; 5,3 \text{ kb})$,

30 - la figure 2 représente la séquence du gène STOP au niveau de l'exon 1 (positions 3333-5150) (clone génomique de 7,2 kb) ; les fragments utilisés pour l'établissement des souris STOP KO $(-/-)$, sont les suivants : séquence homologue en 5' : 4,118 kb, positions 1-4118 ; séquence homologue en 3' : 1,57 kb, positions 5131 à 6701.

- figure 3 : la figure 3A représente la séquence génomique du gène STOP, située en 5' par rapport à la séquence de la figure 2, et la figure 3B représente la sonde utilisée pour le criblage, qui est un fragment EcoR V-EcoR I (positions 701-1881 sur la figure 3A).

5 - la figure 4 illustre l'analyse en *Western-blot*, à l'aide de l'anticorps polyclonal 23C (Laurent Guillaud et al., précité), de l'expression des protéines STOP (E-STOP et N-STOP) dans le cerveau des souris STOP KO (-/-) ou sauvages. Cette figure montre l'absence de protéines STOP dans le cerveau des souris STOP KO (-/-), par comparaison avec les souris de type sauvage ; la présence d'une quantité 10 équivalente de protéines dans les deux types d'échantillons déposés sur le gel est démontrée par le signal obtenu avec un anticorps anti-tubuline β (β -tub).

- les figures 5 à 8 illustrent l'altération de la dépression à long terme (LTD pour *long-term depression*) et de la potentialisation à long terme (LTP pour *long-term potentiation*) chez les souris STOP KO (-/-) :

15 - la figure 5 illustre la réponse synaptique basale des collatérales de Schaffer : les courbes du type "entrée-sortie" représentent la pente de la courbe du potentiel d'excitation post-synaptique (EPSP pour *excitatory post-synaptic potential*) en fonction de l'excitabilité des fibres des collatérales de Schaffer, à partir d'une coupe de souris de type sauvage (a) ou de souris STOP KO (-/-) (b). Résumé des résultats 20 obtenus sur six souris de type sauvage et six souris STOP KO (-/-) (c). Les pentes des courbes ne sont pas significativement différentes, indiquant une transmission synaptique basale normale chez les souris STOP KO (-/-),

- la figure 6 illustre les résultats des expériences de potentialisation à long terme (LTP pour "*Long-term potentiation*") au niveau des synapses des 25 collatérales de Schaffer et des cellules pyramidales de la région CA1 de l'hippocampe :

- la figure 6(a) montre qu'une stimulation à une fréquence élevée (stimulation tétanique induite par 4 stimuli de 100 Hz pendant 1 s, appliqués à des intervalles de 10 à 20 s) entraîne une augmentation à long terme de la pente de la courbe du EPSP, dans 30 une coupe de souris de type sauvage,

- la figure 6(b) montre qu'en revanche, une stimulation identique entraîne uniquement une faible augmentation de la pente de la courbe du EPSP dans une coupe de souris STOP KO (-/-), et
- la figure 6(c) représente un résumé des résultats obtenus chez les souris de type 5 sauvage et les souris STOP KO (-/-). Les valeurs initiales des pentes des courbes du EPSP ont été normalisées dans chaque expérience, en utilisant la valeur moyenne de la courbe obtenue pendant la période témoin (-10 à 0 min). Les résultats exprimés en moyenne \pm s.e.m., correspondent aux valeurs obtenues sur 13 et 9 coupes issues respectivement de sept souris de type sauvage et six souris STOP -/-. Ces résultats 10 montrent un déficit significatif de la potentialisation à long terme chez les souris STOP KO (-/-) ($p = 0,0007$ mesure enregistrée au bout de 30 à 40 minutes),
 - la figure 7 illustre les résultats des expériences de dépression à long terme (LTD) au niveau des synapses des collatérales de Schaffer et des cellules pyramidales CA1 :
- 15 - la figure 7(a) montre que la stimulation à basse fréquence (LFS pour *low frequency stimulation*, 1Hz pendant 15 min) induit une diminution à long terme de la pente de la courbe du EPSP dans les coupes de souris de type sauvage,
- la figure 7(b) montre qu'en revanche, la stimulation à basse fréquence n'induit pas de diminution à long terme de la pente de la courbe du EPSP dans les coupes de souris 20 KO -/-, et
- la figure 7(c) représente un résumé des expériences de LTD dans les souris STOP KO (-/-) et dans les souris de type sauvage. Les résultats exprimés en moyenne +/- s.e.m., correspondent aux valeurs obtenues sur 15 et 9 coupes de respectivement neuf souris de type sauvage et six souris STOP KO (-/-). Ces résultats montrent une 25 altération significative de la dépression à long terme (LTD) dans les souris STOP KO (-/-) ($p=0,01$, résultats enregistrés au bout de 40-45 minutes).
- la figure 8A illustre le rapport NMDA/AMPA au niveau des synapses des collatérales de Schaffer et des cellules pyramidales CA1 correspondant au rapport des valeurs des courbes du EPSP du récepteur du NMDA (N-méthyl-D- 30 aspartate) et du récepteur de l'AMPA (alpha-amino-3-hydroxy-5-méthyl-4-isoxazole acide propionique) sur 14 et 9 coupes de respectivement, six souris de type sauvage et six souris STOP KO (-/-). Les pentes des récepteurs du NMDA et de l'AMPA ont été

mesurées pour une intensité de stimulus correspondant à 2 fois la valeur seuil. Aucune différence significative n'a été observée entre les souris de type sauvage et les souris STOP KO (-/-).

- la figure 8B illustre la dépolarisation pendant une stimulation tétanique des collatérales de Schaffer : le graphique représente le résumé des résultats de quantification de la dépolarisation pendant une stimulation tétanique. La dépolarisation est calculée 300 ms après le début du premier stimulus de 100 Hz. Les expériences ont été réalisées sur 11 coupes de souris de type sauvage et 8 coupes de souris STOP KO (-/-) provenant de respectivement sept souris de type sauvage et six souris STOP KO (-/-). Les résultats ne sont pas significativement différents chez les souris de type sauvage et les souris STOP KO (-/-).

- la figure 9 illustre l'altération de la plasticité synaptique à court terme chez les souris STOP KO (-/-) :

- la figure 9A illustre les résultats des expériences de potentialisation post-tétanique de la transmission synaptique des collatérales de Schaffer. Une stimulation à haute fréquence en présence de l'antagoniste du récepteur NMDA, D-APV (50-100 µM) induit une augmentation transitoire de la pente du EPSP. Les résultats ont été obtenus à partir de 6 et 10 coupes provenant de respectivement quatre souris de type sauvage et cinq souris STOP KO (-/-). Les résultats montrent une altération de la potentialisation post-tétanique chez les souris STOP KO (-/-) ($p=0,04$, mesures effectuées de 0 à 30 s après la stimulation tétanique),

- la figure 9B illustre les résultats des expériences de facilitation par stimulations couplées (PPF for paired pulse facilitation), de la transmission synaptique des collatérales de Schaffer. Les résultats obtenus correspondent à 7 et 12 coupes provenant de respectivement quatre souris de type sauvage et cinq souris STOP KO (-/-). La facilitation par stimulations couplées n'est pas modifiée de façon significative chez les souris STOP-/-, et

- la figure 9C illustre les expériences de facilitation de fréquence des fibres moussues de l'hippocampe. Les résultats ont été obtenus à partir de 10 et 12 coupes obtenues à partir de 7 et 8 coupes provenant de respectivement six souris de type sauvage et sept souris STOP KO (-/-). Dans les souris de type sauvage, une stimulation répétée des synapses de la fibre moussue en utilisant des fréquences de stimulation comprises

entre 0,033 et 1 Hz, a provoqué une augmentation réversible, d'un facteur 3, de l'amplitude de la réponse de la fibre moussue. La facilitation est altérée de façon significative chez les souris STOP KO (-/-) ($p=0,03$, valeurs enregistrées à une fréquence de stimulation de 1 Hz).

5 - la figure 10 illustre les troubles du comportement maternel des souris STOP KO (-/-) :

- figure 10a : la survie des nouveaux-nés, issus de mères primipares, portant l'allèle STOP sauvage ou muté (STOP -/-), est analysée au deuxième jour après la naissance,

- figures 10b et 10c : la manifestation d'un comportement maternel est analysée chez

10 les jeunes femelles primipares et les jeunes mâles STOP KO (-/-), par comparaison avec les souris de type sauvages. Les résultats sont exprimés sous forme de moyenne \pm s.e.m ; $n = 9$ pour les souris femelle de type sauvage et STOP KO (-/-) et $n = 10$ pour les souris mâle de type sauvage et STOP KO (-/-).

15 - la figure 11 illustre les troubles du comportement chez les souris STO KO (-/-) ; les activités des souris (dormir, manger, faire sa toilette, marcher et rester immobile tout en étant éveillé) ont été enregistrées en vidéo pendant une durée de 3 heures, $n = 11$ pour les souris de type sauvage (wt pour *wild-type*) et les souris STOP KO (-/-) :

20 - figure 11a : temps consacré à chaque activité. Chaque boîte correspond à une activité différente, comme indiquée dans le panneau de gauche. Les souris STOP KO (-/-) passent plus de temps à marcher et à rester immobiles que les souris de type sauvage, au détriment du temps passé à dormir ou à manger,

25 - figure 11b : nombre de changements d'activité. Par rapport aux souris de type sauvage, les souris STOP KO (-/-) montrent un nombre plus élevé de changements d'activités, avec un nombre plus élevé de phases de marche et de repos,

- figure 11c : pourcentage des phases de toilette suivies d'une phase de sommeil (GS) sur nombre total de phases de sommeil (S) exprimées en moyenne \pm s.e.m. Les pourcentages sont calculés pour chaque souris avant de calculer la moyenne. La séquence G-S typique chez les souris de type sauvage est fréquemment interrompue chez les souris STOP KO (-/-).

30 - la figure 12 illustre l'état d'anxiété des souris STOP KO (-/-), évalué par le test de lumière et d'obscurité. figure 12a : le temps passé dans la boîte

éclairée et figure 12b : le nombre de passages entre les deux boîtes sont respectivement enregistrés sur une durée de 5 minutes, à partir de la première entrée des animaux dans la boîte obscurcie. Les souris sauvages (+/+) sont utilisées comme témoins. Les valeurs correspondent à valeur moyenne ± erreur standard à la moyenne 5 (s.e.m). Les différences entre les souris KO et les souris témoins sont indiquées avec un risque $p < 0,01$ (**).

- la figure 13 illustre les troubles de la mémoire à court terme des souris STOP KO (-/-), évalués par le test de reconnaissance d'un objet. Les souris sauvages (+/+) sont utilisées comme témoins. Les résultats sont exprimés par l'indice 10 de reconnaissance (RI) : les valeurs de RI significativement supérieures à 50% correspondent à un test de reconnaissance positif. Les valeurs correspondent à la valeur moyenne ± erreur standard à la moyenne (s.e.m).

- la figure 14 illustre le comportement social des souris STOP KO (-/-) ; les souris sauvages (+/+) sont utilisées comme témoins : figure 15a : évaluation 15 du temps passé par un mâle à l'investigation sociale, vis-à-vis d'un intrus [n=11 pour les souris sauvages et n=13 pour les souris STOP KO (-/-)] ; figure 15b : agression inter-mâle ; les tests d'agression sont réalisés pendant deux jours consécutifs [n=11 pour les souris sauvages et n=10 pour les souris STOP KO (-/-)] ; le nombre 20 d'agressions et le temps passé à combattre (moyenne ± erreur standard à la moyenne (s.e.m)) sont enregistrés le deuxième jour ; * : $p < 0,05$, ** : $p < 0,01$, test U Mann-Whitney.

- la figure 15 illustre l'effet des neuroleptiques sur le comportement maternel chez les souris STOP KO (-/-) :

- figure 15A : Réinstallation au nid des nouveaux-nés issus de femelles post-partum de 25 type sauvage (wt) et STOP KO (-/-). La réinstallation des sourceaux au nid a été testée pendant le premier jour post-partum, chez les souris traitées avec des neuroleptiques (mélange d'halopéridol et de chlorpromazine), un anxiolytique (diazépam) ou non-traitées. Les souris ont reçu une dose de 0,5 mg/kg/jour de 6-8 jours avant l'accouchement jusqu'au jour de l'accouchement. Les femelles ont été 30 mises en présence de 3 nouveaux-nés et la réinstallation au nid a été enregistrée pour chaque femelle. La moyenne des valeurs obtenues est présentée pour chaque génotype (moyenne ± s.e.m., n = 6 pour chaque groupe de souris de type sauvage et STOP KO

(-/-). * p < 0,05, ** p< 0,02, *** p<0,01, Test U de Mann et Whitney non paramétrique.

- figure 15B : Survie des nouveaux-nés chez les souris de type sauvage et les souris STOP KO (-/-). La survie des nouveaux-nés est analysée chez les souris STOP KO (-/-) soumises à différents traitements. Les nouveaux-nés sont considérés comme survivants lorsqu'ils sont élevés jusqu'au sevrage. Aucune survie des nouveaux-nés n'a été observée chez les souris STOP KO (-/-) non-traitées (n = 20) ou traitées à court terme (figure 15A). En revanche, une survie des nouveaux-nés est observée chez quatre des sept souris STOP KO (-/-) traitées à long terme (4 mois) avec des neuroleptiques. Une survie des nouveaux-nés est observée chez toutes les souris de type sauvage (n = 7) soumises au même traitement à long terme avec des neuroleptiques. * p < 0,05, ** p< 0,02, *** p<0,01, test exact de Fisher.

Exemple 1 : Établissement de souris “Knock out” (KO) dans lesquelles le gène STOP est inactivé : souris STOP KO (-/-)

15 **1- Matériels et méthodes**

1-1 Construction du fragment génomique d'homologie et du vecteur de recombinaison homologue (vecteur de ciblage).

Les fragments d'ADN génomique, utilisés pour construire le vecteur de recombinaison homologue sont issus d'une banque d'ADN génomique de souris de souche 129 clonée dans le phage P1 et criblée par hybridation avec un ADNc du gène STOP ou une sonde d'ADNc dudit gène (Eric Denarier et al., B.B.R.C., 1998, précité).

Le fragment génomique d'homologie du gène STOP est construit à partir du clone de 7,2 kb dont la séquence est présentée à la figure 2, selon les étapes suivantes : un fragment de 1012 pb, contenant les séquences répétées de la région codante du gène STOP qui s'étend des positions 4118 à 5131 de la séquence présentée à la figure 2, a été déléte et remplacé par une cassette d'expression contenant le gène de résistance à la néomycine (*néo*) sous le contrôle du promoteur PGK et le gène de la β-galactosidase (*lacZ*) sous le contrôle transcriptionnel du promoteur STOP endogène. En outre, un site EcoRV a été introduit en 5' du gène *lacZ*.

Le vecteur de recombinaison homologue (ptSTOP) est obtenu par clonage du fragment d'homologie du gène STOP précédemment décrit dans le vecteur

pGK-TK. Le vecteur pGK-TK dérive du vecteur pPNT construit par Tybulewicz et al. (Cell, 1991, 65, 1153-1163) par insertion du gène de la thymidine kinase du virus de l'Herpès simplex (HSV) sous le contrôle du promoteur de la phosphoglycérate kinase (PGK).

5 1-2 Recombinaison homologue dans les cellules ES et génotypage

Le vecteur ptSTOP est linéarisé par l'enzyme Not1 et électroporé dans des cellules ES (ES-R1, A. Naguy et al., P.N.A.S., 1993, **90**, 8428-8428) ou dans les cellules ES-AT1 isolées à partir de blastocystes de 3,5 jours issus de souris F1 (129 Sv Pas × 129 Sv Pas). Ensuite, les cellules ES électroporées sont ensemencées sur une 10 couche de fibroblastes résistants à la néomycine, préalablement traités à la mitomycine, et cultivées dans du milieu DMEM riche en glucose (INVITROGEN) contenant 15 % de sérum de veau foetal et 1000 UI/ml de facteur inhibiteur de leucémie (Esgron, CHEMICON). 2 jours après la transfection, de la généticine (G418, INVITROGEN) est ajoutée dans le milieu de culture, à la concentration finale de 250 15 µg/ml. Le gancyclovir (SYNTEX) est ajouté du quatrième au huitième jour après la transfection. Les clones de cellules ES recombinantes sont prélevées 10 jours après la transfection et amplifiées avant d'être congelées ou analysées. Le génotype des clones résistant au G418 et au gancyclovir est vérifié par analyse en Southern blot de l'ADN génomique digéré par EcoRV et hybridé avec une sonde spécifique du gène STOP, 20 située dans la région 5' flanquant la région de recombinaison homologue (voir figure 3) et correspondant aux positions 698-1875, après digestion EcoRV-EcoRI de la figure 3. La taille des fragments de restriction est de 8 kb pour l'allèle sauvage et de 5,3 kb pour l'allèle muté (Figure 1B).

25 1-3 Microinjection des cellules ES recombinantes et obtention de souris transgéniques homozygotes pour l'allèle muté du gène STOP [souris STOP KO (-/-)].

Les cellules ES recombinantes portant l'allèle muté sont microinjectées dans des embryons de souris OF1 au stade morula, puis les embryons injectés sont réimplantés dans l'utérus de la mère porteuse pour donner naissance à 30 des souris chimères (*Gene targeting : a practical approach*, A. L. Joyner Ed., New York, Oxford University Press, 1993, pages 174-179). Le croisement de ces chimères avec des souris BalB/c ou 129/sv (Laboratoires CHARLES RIVER) produit des

descendants F1 hétérozygotes, dans lesquels la transmission de la mutation du gène STOP est vérifiée par analyse en Southern blot de l'ADN génomique provenant d'un échantillon de queue. Les descendants F1 sont croisés entre eux pour donner des descendants F2 homozygotes.

5 1-4 Analyse en Western-blot de l'expression du gène STOP dans le cerveau des souris STOP KO (-/-)

Des extraits de cerveaux de souris STOP KO (-/-) et de souris de type sauvage sont préparés et analysés en Western-blot à l'aide de l'anticorps polyclonal 23C, selon les protocoles décrits dans Guillaud et al. , précité.

10 1-5 Analyse histologique, immunomarquage des protéines STOP et détection de l'activité β-galactosidase du cerveau des souris STOP KO (-/-)

a) analyse histologique

Des souris mâle sauvages et STOP KO (-/-) âgées de 10 à 12 semaines sont perfusées avec une solution de paraformaldéhyde (PFA 4 %). Les 15 cerveaux sont fixés dans la même solution, pendant 2h à 4°C. Un test de détection de la cytochrome oxydase (Y. Liu et al., J. Neurosci. Methods, 1993, 49, 181-184) et une coloration au cristal violet sont effectués sur des coupes de 100 µm des cerveaux.

b) immunomarquage des protéines STOP

Les cerveaux sont préparés comme décrit au paragraphe a) puis 20 congelés dans du saccharose (20% dans PBS). Des coupes de cerveau de 20 µm sont incubées successivement dans les solutions suivantes : 1 % H₂O₂ (15 min), 3 % de BSA (30 min) et mélange de l'anticorps polyclonal 23C (100 µg/ml) et du conjugué anti-anticorps de lapin couplé à la peroxydase (une nuit), puis les protéines STOP sont révélées par l'éthylcarbazole (AEC, DAKO).

25 c) détection de l'activité β-galactosidase

Des coupes de cerveaux (100 µm) sont fixées dans 0,2 % de glutaraldéhyde et 2% de formaldéhyde. L'activité β-galactosidase est détectée par coloration des coupes dans une solution de PBS contenant 5 mM de ferricyanure de potassium, 5 mM de ferrocyanure de potassium, 2 mM de chlorure de magnésium et 1 30 mg/ml de X-Gal, à 30°C, pendant 3 à 5 heures.

1-6 Analyse de la stabilité des microtubules dans les neurones et les cellules gliales des souris STOP KO (-/-)

Des neurones et des cellules gliales d'embryons de souris de type sauvage et de souris STOP KO (-/-) sont maintenues à température ambiante ou 5 soumises à une tempéraure de 0° C pendant 45 minutes. Après extraction de la tubuline libre, selon le protocole décrit dans Laurent Guillaud et al., précité, les microtubules sont colorés avec un anticorps anti-tubuline et les noyaux sont colorés par la solution de Hoechst.

2- Résultats

10 2-1 Etablissement de souris STOP KO (-/-)

Le profil génotypique du mutant homozygote STOP KO (-/-) montre la présence d'un fragment de 5,3 kb (figure 1B) qui indique la délétion du fragment de 1012 pb contenant les séquences répétées de la région codante du gène STOP.

15 L'analyse des différents croisements hétérozygotes montre que l'allèle STOP muté est transmis de manière mendélienne.

Les souris homozygotes STOP KO (-/-) sont viables, apparaissent en bonne santé et ne présentent pas de lésions macroscopiques visibles.

On obtient un phénotype nul ; les souris portant l'allèle muté à l'état homozygote n'expriment pas de protéine STOP :

20 - l'analyse des extraits de cerveaux des souris STOP KO (-/-), en Western-blot à l'aide de l'anticorps polyclonal 23C (Guillaud et al., précité), montre une absence de protéines STOP (E-STOP et N-STOP) chez ces souris alors que ces deux isoformes sont détectées chez les souris adultes de type sauvage (figure 4).

25 - l'analyse immunohistologique des coupes de cerveaux des souris STOP KO (-/-) montre une absence de marquage spécifique des protéines STOP (E-STOP et N-STOP) chez ces souris alors qu'un marquage spécifique de ces protéines STOP est observé dans l'ensemble des tissus nerveux des souris adultes de type sauvage.

2-2 Absence de stabilité au froid des microtubules de cellules issues de souris STOP KO (-/-)

Du fait de l'absence de protéine STOP chez les souris STOP KO (-/-), on observe une dépolymérisation des microtubules après exposition au froid, à la fois 5 dans les neurones, les cellules gliales ou les fibroblastes.

2-3 Absence de lésions anatomiques dans le cerveau des souris STOP KO (-/-)

L'analyse en microscopie optique, de l'anatomie du cerveau des souris STOP KO (-/-), à partir de coupes parasagittales colorées au cristal violet pour 10 visualiser les noyaux, ne montre pas de différences entre les souris KO -/- et les souris de type sauvage.

Plus précisément :

- l'analyse des couches de cellules du cervelet, du néocortex, de l'hippocampe et du bulbe olfactif qui correspondent à celles montrant une expression 15 importante des protéines STOP chez les souris de type sauvage, montre une organisation parfaitement normale chez les souris KO -/-,
- l'examen du cortex somato-sensoriel, à partir de coupes tangentielle colorées pour mettre en évidence l'activité cytochrome oxydase, a montré une organisation normale des champs de tonneaux chez les souris KO -/-,
- 20 - le profil d'expression de la β-galactosidase dans le cerveau des souris STOP KO (-/-) est identique à celui observé chez les souris hétérozygotes ce qui démontre que les cellules qui, à l'état normal, expriment des quantités importantes de protéines STOP sont encore présentes chez les souris STOP -/-.

Les souris homozygotes STOP(-/-) qui ne présentent pas de lésions 25 anatomiques du cerveau détectables en microscopie, présentent cependant des troubles du comportement.

Exemple 2: Analyse électrophysiologique de la transmission synaptique chez les souris KO STOP -/-

1-Matériels et méthodes

Pour la préparation des coupes d'hippocampe, des souris âgées de 1 30 à 3 mois ont été profondément anesthésiées avec du nembutal. Des coupes de cerveau (300-400 µm) ont été réalisées dans un liquide céphalo-rachidien artificiel (124 mM

NaCl, 26 mM NaHCO₃, 2,5 mM KCl, 1,25 mM NaH₂PO₄, 2,5 mM CaCl₂ et 1,3 mM MgCl₂), à une température comprise entre 4°C et 8°C. De manière plus précise : les coupes ont été maintenues à température ambiante pendant au moins 1 h puis elles ont été submergées dans une chambre contenant du liquide céphalo-rachidien artificiel
5 équilibré avec 95 % d'O₂ et 5 % de CO₂ et transférées dans une chambre de superfusion.

Le potentiel d'excitation post-synaptique (EPSP) des champs extracellulaires a été enregistré à l'aide de microélectrodes (1 à 3 MΩ) remplies de liquide céphalo-rachidien artificiel. Les mesures ont été effectuées à une température
10 d'environ 22 à 25°C. Des électrodes bipolaires en acier ont été utilisées pour stimuler la collatérale de Schaffer et la fibre moussue (stimulation de 10 à 100 mA, pendant 0,1 ms avec des intervalles de 10 à 30 s entre chaque stimulation).

Pour toutes les analyses effectuées dans la région CA1, les électrodes de stimulation et les électrodes de mesure extracellulaire ont été placées
15 dans le *stratum radiatum* et de la picrotoxine (concentration finale de 100 µM, SIGMA) a été ajoutée au liquide céphalo-rachidien artificiel. Dans ces séries d'analyses, la région CA1 a été séparée de la région CA3 par section au couteau de la coupe de cerveau, avant la mesure.

Pour les courbes du type entrée-sortie, l'excitabilité des fibres a été
20 analysée après blocage de l'activation du récepteur au glutamate par l'antagoniste du récepteur de l'AMPA (alpha-amino-3-hydroxy-5-méthyl-4-isoxazole acide propionique), NBQX (5 à 10 µM, TOCRIS). Les réponses du récepteur de l'AMPA ont été mesurées puis les réponses du récepteur du NMDA (N-méthyl-D-asparte) ont été révélées après suppression du magnésium extra-cellulaire et isolées par l'addition
25 de NBQX (10 µM), afin d'effectuer une analyse quantitative.

Pour les analyses de type potentialisation post-tétanique (PTP) une dose élevée de D-APV (50 à 100 µM ; fourni par TOCRIS) a été ajoutée dans la solution du bain, au moins 10 minutes avant le choc tétanique.

Pour les expériences de stimulations couplées, les collatérales de
30 Schaffer ont été stimulées de façon répétée par deux stimuli de même intensité séparés par de courts intervalles de durée variable. Le résultat est exprimé par le rapport entre

l'amplitude de la réponse au second stimulus et au premier stimulus, déterminé à partir d'une moyenne de 15 à 20 réponses, pour chaque valeur de l'intervalle.

Les réponses des fibres moussues ont été analysées par l'application d'un bain de l'agoniste sélectif du récepteur au glutamate, DCG IV (groupe métabotropique de type 2). Les effets inhibiteurs du DCG IV (10 mM, fourni par TOCRIS) sur les entrées dans les fibres moussues sont similaires chez les souris de type sauvage et les souris STOP KO (-/-). NBQX (5 à 10 mM) a été appliqué à la fin de chaque analyse de la fibre moussue, afin de déterminer l'excitabilité de ces fibres.

L'acquisition des données et l'analyse des expériences de potentialisation à long terme (LTP) et de dépression à long terme (LTD) ont été effectuées en aveugle, relativement au génotype des souris. Tous les résultats sont exprimés sous forme de moyenne ± écart standard à la moyenne (s.e.m).

2- Résultats

Le fonctionnement des synapses des souris STOP KO (-/-) a été analysé dans l'hippocampe où l'expression des protéines STOP est importante.

Tout d'abord, afin d'analyser sélectivement la transmission glutamatergique, la transmission synaptique dans la région CA1 de l'hippocampe a été analysée en présence de picrotoxine, un antagoniste du récepteur du GABA de type A.

La transmission synaptique basale a été évaluée par l'analyse de la relation entre l'excitabilité des fibres des collatérales de Schaffer et l'amplitude des potentiels d'excitation post-synaptiques dans la région CA1 de l'hippocampe. L'analyse a été effectuée pour différentes intensités de stimulus. Les courbes du type entrée-sortie sont qualitativement similaires chez les souris STOP KO (-/-) et les souris de type sauvage (figures 5a et 5b). L'analyse quantitative effectuée sur les pentes des courbes entrée-sortie de six souris de type sauvage et de six souris KO STOP -/- ne montre aucune différence entre les 2 groupes de souris (figure 5c), indiquant une transmission synaptique basale normale chez les souris STOP -/-.

Pour l'analyse de la plasticité synaptique, la réponse synaptique à un stimulus standard est évaluée par la pente de la courbe d'EPSP. Les valeurs basales des pentes sont déterminées par des stimulations répétées à basse fréquence (0,03-0,1 Hz). Au temps zéro, un protocole de stimulation de conditionnement est appliqué.

L'adaptation synaptique est mise en évidence par une déviation stable des valeurs des pentes d'EPSP, par rapport aux valeurs basales.

Un protocole de conditionnement à une fréquence élevée (100 Hz), appliqué à la synapse collatérale de Schaffer-cellule pyramidale de la région CA1, 5 produit une augmentation stable des pentes des courbes, dans les coupes des souris de type sauvage (figure 6a), indiquant une potentialisation synaptique chez ces souris. Cette potentialisation a persisté plus de 30 minutes, et une telle persistance représente une potentialisation à long terme (LTP).

Chez les souris KO STOP (-/-) on observe une plus faible 10 potentialisation de la transmission synaptique (figure 6b).

Cette différence est confirmée par l'analyse quantitative de l'ensemble des résultats obtenus dans les 2 groupes de souris (figure 6c).

La dépression à long terme (LTD) a été analysée au niveau des mêmes synapses des collatérales de Schaffer et des cellules pyramidales CA1. Le 15 protocole classique de stimulation à basse fréquence a été utilisé (LFS, 900 stimulations de 1 Hz). Des coupes de souris STOP KO (-/-) ont montré une diminution significative de l'amplitude de LTD (figure 7b).

Ces résultats montrent que la LTP et la LTD sont altérées chez les souris STOP KO (-/-).

20 La LTP et la LTD dépendent de façon cruciale de l'activité du récepteur du NMDA. Toutefois, l'activité basale du récepteur du NMDA, mesurée par le rapport de la réponse NMDA/AMPA aux stimuli (figure 8A) et l'activation du récepteur NMDA pendant la stimulation tétanique (figure 8B) sont comparables chez les souris STOP KO (-/-) et les souris de type sauvage.

25 Ces résultats démontrent un déficit dans les 2 formes majeures de plasticité synaptique (LTP et LTD) chez les souris STOP KO (-/-) et indique que ce déficit n'est pas lié à un défaut d'expression du récepteur NMDA chez les souris STOP KO (-/-).

30 La figure 9B montre que chez les souris STOP KO (-/-), la potentialisation synaptique est altérée pendant les premières minutes après la stimulation tétanique ainsi qu'à des instants plus tardifs. En conséquence, l'existence d'un déficit éventuel de plasticité à court terme, au niveau des synapses des

collatérales de Schaffer et des cellules pyramidales CA1, a été analysée par les mesures de la potentialisation post-synaptique (PTP) et de la facilitation par des stimulations couplées (PPF). Comme la LTP, la PTP est une forme de potentialisation suite à une stimulation tétanique (stimulus d'1 Hz pendant 1 s) mais elle est induite en 5 présence de l'antagoniste du récepteur NMDA (D-APV) pour bloquer des événements post-synaptiques impliqués dans la LTP, et persiste seulement pendant quelques minutes, suite à la stimulation tétanique. La PPF est une autre forme de plasticité synaptique observée lorsque les synapses sont stimulées par des stimulations couplées. La PPF est définie par une augmentation de la réponse synaptique en réponse au 10 second stimulus. La PTP est réduite chez les souris STOP KO (-/-) (figure 9A). En revanche, la facilitation par stimulations couplées (PPF) est similaire chez les souris de type sauvage et les souris STOP KO (-/-) (figure 9B), et cela pour une gamme étendue de valeurs décroissantes de la concentration en calcium extracellulaire.

La plasticité synaptique au niveau des synapses des fibres moussues 15 et des cellules pyramidales de la région CA3 a ensuite été analysée. Aucune différence dans la potentialisation à long terme (LTP) ainsi que dans la facilitation par stimulations couplées (PPF) , n'a été observée entre les souris STOP KO (-/-) et les souris de type sauvage. Pour étudier la plasticité à court terme, les fibres moussues ont été stimulées par des fréquences croissantes allant de 0,033 à 1 Hz. Ce protocole 20 induit normalement une augmentation importante et transitoire de l'amplitude de la réponse des fibres moussues, un phénomène dénommé facilitation de fréquence. L'amplitude de la facilitation de fréquence a été significativement diminuée chez les souris STOP KO (-/-), par comparaison avec les souris de type sauvage (figure 9C).

L'ensemble de ces résultats montre que plusieurs formes distinctes 25 de la plasticité à long terme et à court terme sont altérées dans différentes régions de l'hippocampe, chez les souris STOP KO (-/-).

Exemple 3 : Analyse des troubles du comportement des souris KO STOP -/-

1- Matériels et méthodes

Tous les tests de comportement ont été effectués sur des portées de 30 souris STOP KO (-/-) et de souris témoins de type sauvage issues de la même colonie (fond génétique BALBc/129 Sv).

1-1 Tests du comportement maternel (maternage)

Le comportement maternel est apprécié par la réalisation des gestes suivants :

1. préparer un nid
- 5 2. réinstaller les nouveaux-nés dans le nid.

Tests effectués chez les femelles nullipares et chez les mâles

De jeunes femelles nullipares âgées de 28 à 49 jours sont élevées individuellement pendant au moins un jour avant le début de l'expérience, puis du coton leur est fourni pour construire un nid.

10 A J1, chaque femelle est mise en présence de 3 nouveaux-nés âgés de 1 à 3 jours de la façon suivante : les nouveaux-nés sont placés chacun dans un des coins de la cage, à distance du nid et au bout de 30 minutes les nouveaux-nés sont replacés avec leur mère naturelle.

15 A J2, chaque femelle est à nouveau mise en présence des nouveaux-nés et on évalue, pour chaque femelle, le nombre de souriceaux réinstallés au nid pendant une période de 30 minutes.

Des jeunes mâles âgés de 30 à 45 jours ont été utilisés dans les mêmes conditions que les femelles nullipares à la seule différence qu'ils ont été mis en présence de souriceaux pendant 2 jours consécutifs avant d'être testés à J3, au lieu de 20 J2 pour les femelles nullipares.

Tests effectués chez les mères primipares ou multipares

Des femelles post-partum (seconde gestation) ont été élevées individuellement dès le début de leur gestation. Le jour de l'accouchement, les souriceaux ont été retirés et gardés au chaud pendant une heure. La mère a ensuite été 25 retirée de sa cage habituelle et trois nouveaux-nés ont été placés chacun dans un coin de cette même cage, à distance du nid. Ensuite, la mère a été replacée dans son nid et le nombre de souriceaux réinstallés au nid pendant une période de 20 minutes, a été évalué.

1-2 "Test de lumière et d'obscurité"

30 Le test du choix entre la lumière et l'obscurité, dénommé "test de lumière et d'obscurité", est utilisé pour révéler un état d'anxiété provoqué par un stimulus générateur d'anxiété. Ce procédé, validé par Misslin et al. (1990,

Neuroreport, 1, 267-270), repose sur la tendance naturelle des rongeurs à préférer un environnement sombre, et permet d'évaluer la réponse émotionnelle des animaux soumis à un stress constitué par la lumière.

Les animaux sont entretenus dans des cages individuelles placées 5 dans un incubateur possédant une température comprise entre 21°C et 22°C et un cycle inversé lumière/obscurité de 12h/12h, avec de l'eau et de la nourriture, disponibles à volonté. Toutes les expériences sont réalisées conformément aux directives institutionnelles relatives à l'expérimentation animale.

Le dispositif consiste en deux boîtes de polyvinylcarbonate (20 cm x 10 20 cm x 14 cm) recouvertes de plexiglas. L'une des boîtes est obscurcie et l'autre boîte est éclairée à l'aide d'une lampe de bureau de 100 W placée à une distance de 15 cm (4400 lx). Un tunnel opaque en plastique (5 cm x 7 cm x 10 cm) sépare la boîte obscurcie de la boîte éclairée.

Les animaux sont placés individuellement dans la boîte éclairée avec 15 la tête dirigée vers le tunnel. Le temps passé dans la boîte éclairée (TLB) et le nombre de passages entre les deux boîtes sont enregistrés sur une durée de 5 minutes, à partir de la première entrée des animaux dans la boîte obscurcie.

L'analyse globale des résultats est réalisée en utilisant le test U de Mann et Whitney. Le risque (p) est fixé à p <0,05. Les résultats sont exprimés par la 20 valeur moyenne ± erreur standard à la moyenne (s.e.m).

1-3 Test de reconnaissance d'un objet

La mémoire à court terme est évaluée par le test de reconnaissance d'un objet précédemment décrit (Ennaceur et al., 1988, *Behav. Brain Res.*, 31, 47-59 ; Dodart et al., 1997, *Neuroreport*, 8, 1173-1178), qui repose sur la tendance naturelle 25 des rongeurs à explorer un nouvel objet, de préférence à un objet familier.

Les animaux sont entretenus dans les conditions telles que décrites à l'exemple 3, section 1-2.

Le test de reconnaissance d'un objet est réalisé dans un espace ouvert en plexiglas (52 cm x 52 cm x 40 cm). Le sol est divisé en 9 carrés de taille 30 égale. Les objets à distinguer sont une bille et un dé. Les animaux sont habitués au terrain ouvert pendant 30 min.

Le jour suivant, ils sont soumis à une épreuve d'apprentissage de 10 min (première épreuve) pendant laquelle ils sont placés individuellement dans l'espace ouvert, en présence d'un objet A (dé ou bille). Pendant cette période, sont enregistrés :

- 5 - l'activité locomotrice, évaluée par le nombre de carrés traversés, et
- le temps passé par l'animal à explorer l'objet A, c'est-à-dire le temps pendant lequel le nez de l'animal est dirigé à une distance de l'objet, inférieure à 1 cm.

Trois heures plus tard, ils sont soumis à une épreuve de reconnaissance de 10 min (deuxième épreuve). Pour cette épreuve, l'objet A et l'autre objet (B) sont placés dans l'espace ouvert et l'activité locomotrice, ainsi que la durée d'exploration de l'objet A (t_A) et de l'objet B (t_B) sont enregistrées. Ensuite, l'indice de reconnaissance (RI, en ordonnée à la figure 6) est calculé à partir de la formule suivante $RI = t_A/(t_A + t_B) \times 100$. Un test de reconnaissance est considéré comme positif si la valeur de l'indice de reconnaissance est significativement supérieure à 50 %.

L'analyse globale des résultats est réalisée comme décrit à l'exemple 3, section 1-2.

1-4 Test de comportement social, test de l'intrus

1-4-1 Investigation sociale

20 Le comportement social est évalué sur de jeunes mâles âgés de 4 semaines, isolés pendant une semaine dans une cage (jeunes mâles résidents) ; un intrus mâle élevé en groupe est introduit dans la cage et le temps d'investigation sociale (approche, reniflement, attitude sexuelle) des jeunes mâles résidents est évalué pendant 6 minutes. L'analyse des résultats est réalisée en utilisant le test U Mann et Whitney.

Les résultats sont exprimés par la valeur moyenne \pm erreur standard à la moyenne.

1-4-2 Aggression inter-mâle

Des mâles résidents sont isolés pendant un mois et un intrus (mâle élevé en groupe) est placé dans la cage. On mesure le nombre d'attaques et le temps passé à se battre des résidents sur une période de 5 minutes. L'analyse des résultats est

réalisée en utilisant le test U Mann et Whitney. Les résultats sont exprimés par la valeur moyenne ± une erreur standard à la moyenne.

2-Résultats

2-1 Comportement maternel des souris STOP KO (-/-)

5 Les souris STOP KO (-/-) présentent des défauts majeurs du comportement maternel se traduisant par une absence totale d'intérêt pour leur progéniture, comme le montrent les résultats présentés à la figure 10, obtenus à partir de 161 sourceaux issus de 20 souris femelles STOP KO (-/-) croisées avec des mâles hétérozygotes :

10 - tous les nouveaux-nés, issus de mères primipares STOP KO (-/-) meurent dans les 24 h suivant la naissance par défaut d'attention de la mère (figure 11a), et ce quel que soit leur génotype (fond génétique BALBc/129Sv ou 129Sv). Par comparaison, on observe un taux de survie de 93 % chez les nouveaux-nés issus de mère primipare portant l'allèle sauvage à l'état homozygote [souris sauvages (+/+)]
15 qui présentent un comportement maternel normal comprenant en particulier la préparation d'un nid et la réinstallation des sourceaux dans le nid (figure 11a). Il a également été montré que le comportement maternel des souris STOP KO n'était pas amélioré par des gestations répétées (mères multipares).

20 - Les sourceaux nés de mère STOP KO (-/-) ne sont jamais cannibalisés et ils sont élevés jusqu'au sevrage lorsqu'ils sont adoptés par des mères de type sauvage, ce qui démontre que la mort des sourceaux est directement liée au génotype de la mère. Pour déterminer les causes de la mort, un défaut de tétée liée à une absence de signal olfactif au niveau des mamelles des femelles STOP KO (-/-) a été recherché. Lorsque les sourceaux issus de mère STOP KO (-/-) sont laissés en
25 présence de leur mère mais replacés, de façon répétée, en position pour être maternés, par une intervention humaine, tous les sourceaux montrent un comportement de recherche et d'attachement à la mamelle. La présence de ce comportement guidé indique que les femelles STOP KO (-/-) possèdent les signaux olfactifs indispensables à l'allaitement. De plus, dans ces conditions, la présence de lait dans l'estomac des
30 sourceaux a été observée. Ces résultats démontrent que la mort des sourceaux n'était pas liée à des défauts de lactation chez les souris STOP KO (-/-).

- Le défaut de réinstallation au nid n'est pas dû à un défaut de reconnaissance olfactive des sourceaux chez les souris STOP KO (-/-) étant donné que les femelles STOP KO (-/-) placées près de leur progéniture, reniflent les sourceaux et de plus montrent un comportement normal dans un test d'olfaction (test 5 de la nourriture cachée).

- Afin de vérifier si le défaut de comportement maternel observé chez les souris STOP KO (-/-) était lié au statut hormonal, des tests complémentaires ont été effectués chez les femelles nullipares et chez les jeunes mâles. Les résultats des tests de réinstallation au nid, effectués chez ces deux groupes de souris montrent 10 un défaut de comportement maternel des souris STOP KO (-/-) mâles ou femelles nullipares (figure 10b,et 10c).

L'ensemble de ces résultats indique que le défaut de comportement maternel observé chez les souris STOP KO (-/-) est indépendant d'un défaut organique manifeste et du statut hormonal de ces souris, ce qui indique qu'il n'est qu'une 15 manifestation des défauts de comportement multiples observés chez ces souris STOP KO (-/-).

2-2 Autres troubles du comportement des souris STOP KO (-/-)

Alors que l'examen de l'état général des souris STOP KO (-/-) ne révèle aucun défaut apparent, elles présentent un comportement étrange avec des 20 phases d'activité intense sans but apparent, accompagnées par de fréquents changements d'activité, au hasard. De manière occasionnelle, les souris présentent une période de crise, d'une durée d'environ 20 min, pendant laquelle les animaux effectuent des cercles ou creusent dans la cage, de manière compulsive. Ces souris traversent également des périodes de prostration apparente pendant lesquelles les 25 souris restent immobiles, ne dorment pas et ne réagissent pas à l'environnement. De telles crises, n'ont jamais été observées chez les souris de type sauvage et ne ressemblent pas à des événements épileptiformes. Les crises aigües sont difficiles à étudier de façon systématique mais elles représentent des manifestations paroxystiques d'un bruit de fond continu d'anomalies du comportement. 30 L'enregistrement vidéo a été utilisé pour évaluer le comportement des souris de façon quantitative. Le temps passé par les souris à manger, dormir, faire leur toilette, marcher et rester immobiles en étant toujours éveillées a été mesuré pendant une

période de 3 heures, et les résultats sont présentés à la figure 11a. Par rapport aux souris de type sauvage, les souris STOP KO (-/-) passent plus de temps à circuler dans la cage ou à rester immobiles, alors qu'elles sont éveillées, au détriment du temps passer à se nourrir et à dormir. Les souris mutantes présentent des changements 5 d'activités plus importants, en grande partie dus à un nombre significativement plus grand de phases de déplacement sans but et de phases d'immobilité (figure 11a). Les changements d'activité chez les souris STOP KO (-/-) rompent souvent une période d'activité caractéristique. Par exemple, chez les souris de type sauvage, 71% des 10 phases de sommeil sont précédées d'une phase de toilette avec ou sans intercalage d'une phase de tranquillité. La fréquence correspondante chez les souris STOP KO (-/-) est de 47 %, une valeur juste au dessus du bruit de fond attendu dans le cas de séquences d'activité au hasard (35 %, figure 12a). Ces résultats quantitatifs confirment l'impression d'activité non-organisée et non-orientée vers un but, donnée par l'observation des souris STOP KO (-/-).

15 Des analyses complémentaires du comportement des souris STOP KO (-/-) ont été effectuées à l'aide de tests classiques.

Etat d'anxiété des souris STOP KO (-/-)

Les souris STOP KO (-/-) sont effrayées par un stimulus générateur d'anxiété et les souris sauvages (+/+) ont un comportement normal, comme le 20 montrent les résultats du test de stimulation par la lumière (test lumière-obscurité) présentés aux figures 12a et 12b. En outre, il a été montré par des tests préalables, que l'activité locomotrice spontanée des souris mutantes (-/-) n'était pas modifiée comparativement aux souris sauvages (+/+).

- la figure 12a montre que les souris sauvages (+/+) passent 25 beaucoup plus de temps dans la boîte éclairée que les souris STOP KO (-/-) qui restent dans la boîte obscurcie pendant presque toute la durée du test. Les différences observées entre les souris KO (-/-) et les souris sauvages (+/+) sont statistiquement significatives : $p < 0,01$, test U Mann et Whitney.

- la figure 12b montre que les souris sauvages entrent plus fréquem- 30 ment dans la boîte éclairée que les souris STOP KO (-/-). Les différences observées entre les souris STOP KO (-/-) et les souris sauvages (+/+) sont statistiquement significatives : $p < 0,01$, test U Mann et Whitney.

Mémoire à court terme des souris STOP KO (-/-)

Les souris STOP KO (-/-) présentent des troubles de la mémoire à court terme comme le montrent les résultats du test de reconnaissance, présentés à la figure 13 :

5 - l'indice de reconnaissance, mesuré chez les souris sauvages (65 %) est significativement plus élevé que l'indice de 50% observé chez les souris STOP KO (-/-) ($p = 0,004$ pour les souris (++), test de Student)..

10 - le temps d'exploration des objets A et B, enregistré lors de la deuxième épreuve (épreuve de reconnaissance) montre que les souris sauvages explorent le nouvel objet de préférence à l'objet familier.

15 - les souris STOP KO (-/-) n'explorent aucun des objets pendant les deux épreuves (apprentissage et reconnaissance). Elles se déplacent dans l'espace ouvert mais ne sont pas intéressées par les objets. Ce comportement pourrait s'expliquer par leur état d'anxiété comme le montrent les résultats du test de la lumière et de l'obscurité. Cet état d'anxiété est révélé notamment par le fait que les souris se déplacent le long des murs et qu'elles ne traversent pas l'espace ouvert, car elles semblent effrayées par l'environnement et par les objets qui représentent un stimulus générateur d'anxiété.

Comportement social

20 Les souris STOP KO (-/-) présentent des troubles d'investigation sociale (figure 14a, 14b et 14c).

- La figure 14a montre que le temps passé par les résidents à explorer l'intrus est réduit de manière significative lorsque le résident est un mâle STOP KO (-/-), ($p < 0,05$).

25 - La figure 14b montre que dans le test d'agression inter-mâle, le nombre d'attaques effectuées par les résidents STOP KO (-/-) est inférieur au nombre d'attaques effectuées par les mâles sauvages ($p < 0,01$).

30 - La figure 14c montre que le temps passé à se battre par les résidents mâles STOP KO (-/-) est réduit en comparaison des mâles sauvages ($p < 0,01$).

Exemple 4: Effet des anxiolytiques et des neuroleptiques sur le comportement maternel des souris STOP KO (-/-)

1-Matériels et méthodes

L'effet des anxiolytiques (diazépam) et des neuroleptiques (chlorpromazine, halopéridol ou clozapine), sur les troubles du comportement des souris STOP KO (-/-), a été évalué dans le test du comportement maternel tel que défini à l'exemple 3 (test de réinstallation au nid).

L'halopéridol (Haldol^R, JANSSEN-CILAG), la chlorpromazine (Largactil^R, RHONE-POULENC) et le diazépam (Valium^R, ROCHE) ont été administrés aux souris dans l'eau de boisson, à la dose de 0,5 mg/kg/jour.

2- Résultats

a) traitement à court terme

L'effet de l'administration à court terme (pendant 6 à 8 jours à partir du 6^{ème} jour précédent l'accouchement) des anxiolytiques (diazépam) et des neuroleptiques (chlorpromazine, halopéridol ou clozapine) sur les troubles du comportement des souris STOP KO (-/-) a été évalué dans le test de réinstallation au nid.

La réinstallation des sourceaux au nid est dramatiquement altérée chez les mères STOP KO (-/-) non-traitées et est faiblement amélioré par l'administration de diazépam (figure 15A). En revanche, les mères STOP KO (-/-) traitées avec des neuroleptiques se comportent aussi bien que les souris de type sauvage (figure 15A). Cependant aucune survie des sourceaux n'a été observée aussi bien chez les souris STOP KO (-/-) traitées ou non-traitées. Ces résultats indiquent un effet bénéfique spécifique mais limité, de l'administration à court terme de neuroleptiques, sur le comportement des souris STOP KO (-/-).

b) traitement à long terme

Sept souris STOP KO (-/-) et sept souris de type sauvage ont reçu une administration quotidienne d'un mélange de chlorpromazine et d'halopéridol, pendant 4 mois, à partir du sevrage et continuant pendant la croissance, l'accouplement avec les mâles, la gestation, l'accouchement et la période post-partum. Les sept souris de type sauvage ont présenté un comportement maternel normal et tous leurs sourceaux ont survécu (figure 15C). De façon remarquable, chez quatre des sept

souris STOP KO (-/-), une amélioration du comportement maternelle a été suffisante pour permettre la survie des sourceaux, avec des rapports survivants/nouveaux-nés de respectivement 3/11, 4/8, 2/4 et 1/5, chez ces quatre souris.

La proportion de souris femelles STOP KO (-/-) avec des sourceaux
5 survivants est significativement plus élevée chez les souris traitées à long terme avec des neuroleptiques (4/7), par rapport aux souris non-traitées (0/20) ou aux souris traitées à court terme avec des neuroleptiques (0/6, figure 15B).

Ces résultats indiquent que l'administration à long terme de neuroleptiques est capable de ré-établir un comportement normal chez les souris
10 STOP KO (-/-), compatible avec la survie des sourceaux.

Ainsi que cela ressort de ce qui précède, l'invention ne se limite nullement à ceux de ses modes de mise en oeuvre, de réalisation et d'application qui viennent d'être décrits de façon plus explicite ; elle en embrasse au contraire toutes les variantes qui peuvent venir à l'esprit du technicien en la matière, sans s'écartez du
15 cadre, ni de la portée, de la présente invention.

REVENDICATIONS

1°) Mammifère non-humain recombinant, porteur d'au moins un allèle modifié du gène codant pour une protéine STOP.

2°) Mammifère non-humain recombinant selon la revendication 1,
5 caractérisé en ce que ledit allèle modifié est obtenu à partir d'une construction comprenant une séquence d'acide nucléique issue du même mammifère ou d'un mammifère différent de celui dans lequel ladite construction est insérée, laquelle construction est sélectionnée dans le groupe constitué par des constructions contenant une séquence codant pour une protéine STOP anti-sens, des constructions comprenant
10 la région du promoteur STOP en combinaison avec un gène rapporteur ou avec la région codante STOP, des constructions comprenant au moins une portion du gène STOP incluant au moins une modification, des constructions comprenant au moins une portion du gène STOP liée de manière opérationnelle à un promoteur et éventuellement à d'autres séquences régulatrices nécessaires pour l'expression dans l'animal
15 hôte.

3°) Mammifère non-humain recombinant selon la revendication 1 ou la revendication 2, caractérisé en ce que lesdites constructions sont sélectionnées parmi les constructions suivantes : des constructions qui incluent un fragment de la séquence génomique codant pour une protéine STOP comprise entre le codon d'initiation et le codon STOP, des constructions ne comprenant pas la région comprise entre les positions 4118 et 5131 de la séquence génomique codant pour une protéine STOP, des constructions comprenant 4,1 kb du gène STOP, le gène codant pour la β-galactosidase, placé sous le contrôle du promoteur STOP endogène, un gène de résistance à la néomycine sous le contrôle du promoteur PGK, 1,57 kb de séquence du gène STOP et enfin le gène de la thymidine kinase, sous le contrôle du promoteur PGK.
25

4°) Utilisation d'un mammifère non-humain recombinant selon l'une quelconque des revendications 1 à 3, pour la sélection ou le criblage de produits psychoactifs.

30 5°) Molécule d'acide nucléique, caractérisé en ce qu'elle comprend la séquence d'un allèle modifié du gène codant pour une protéine STOP tel que défini

à l'une quelconque des revendications 1 à 3, à l'exclusion des séquences correspondant aux numéros d'accession GENBANK AJ002556 et Y16032.

6°) Amorces ou sondes de criblage de clones ES recombinants ou d'animaux recombinants, caractérisées en ce qu'elles sont sélectionnées dans le 5 groupe constitué par les séquences SEQ ID NO:3 à 6.

7°) Procédé de criblage et de sélection de molécules utiles dans le traitement de la schizophrénie et des désordres schizoaffectifs à composante anxieuse, paranoïaque ou dépressive, lequel procédé est caractérisé en ce qu'il comprend au moins les étapes suivantes :

10 - la mise en contact *in vitro* d'au moins une substance à cribler avec un échantillon biologique constitué par un extrait de cellules ou des tranches d'organes, de préférence neuronales ou cérébrales, obtenu à partir d'au moins un mammifère non-humain recombinant porteur d'au moins un allèle modifié du gène codant pour une protéine STOP selon l'une quelconque des revendications 1 à 3,

15 - la mesure de l'action de ladite substance à cribler sur lesdites cellules ou tranches d'organes et

- la comparaison des valeurs obtenues avec celles des cellules ou des tranches d'organes d'un échantillon biologique obtenu à partir d'un mammifère non-humain du même type, porteur de deux allèles sauvages du gène codant pour une 20 protéine STOP.

8°) Procédé selon la revendication 7, caractérisé en ce que ladite - mesure est effectuée à l'aide d'un test de liaison protéine-protéine.

9°) Procédé selon la revendication 7, caractérisé en ce que ladite mesure est effectuée par détection de la variation d'intensité d'un signal électrique.

25 10°) Vecteur de recombinaison homologue d'un gène codant pour une protéine STOP, caractérisé en ce qu'il comprend une séquence nucléotidique d'un gène STOP modifié codant pour une protéine STOP inactivée, de préférence tronquée au niveau d'au moins l'un des exons, notamment l'exon 1.

30 11°) Utilisation des substances sélectionnées à l'aide du procédé de criblage selon l'une quelconque des revendications 7 à 9, pour la préparation d'un médicament utile dans le traitement de la schizophrénie et des désordres schizoaffectifs à composante anxieuse, paranoïaque ou dépressive.

12°) Utilisation d'une amorce ou d'une sonde selon la revendication 6, pour le criblage de clones ES recombinants ou d'animaux recombinants.

1 / 13

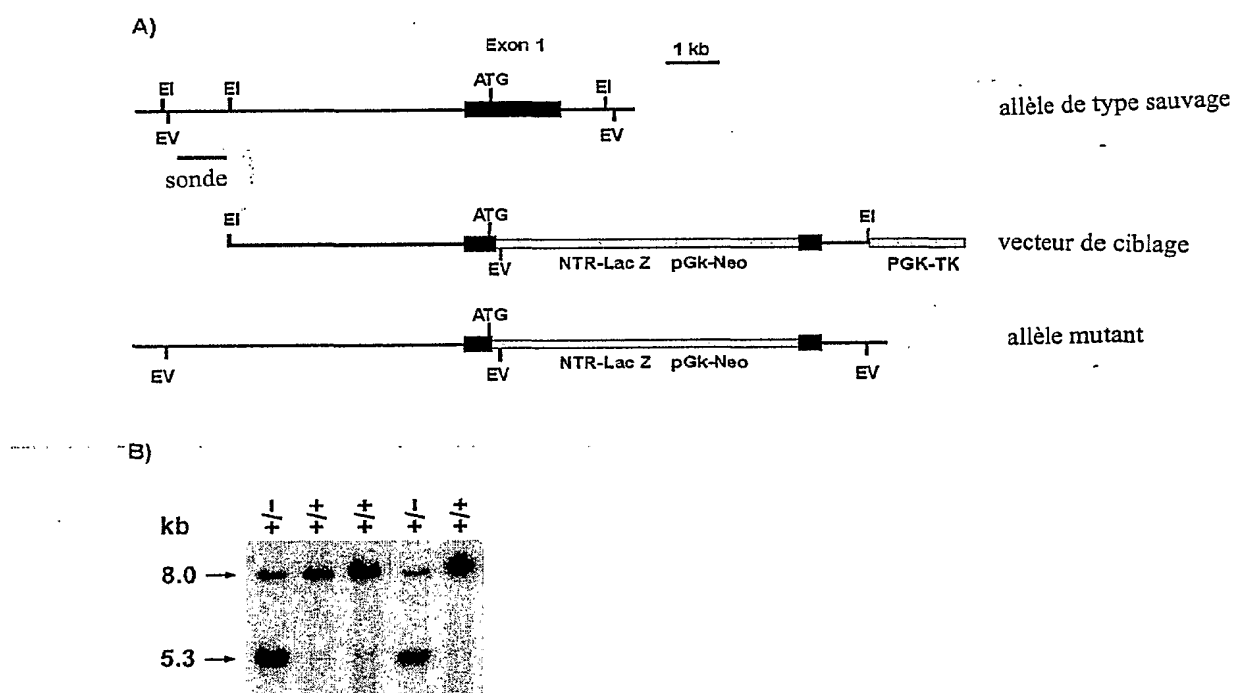


FIGURE 1

2/13

	10	20	30	40	50	60	70	80	90	100
1	GAATTCAAG	ATGCCATTAT	CTTGCTTCT	TTCGTCCTAA	CTTCTGATCT	CACGGCAGCC	CCAGCAGAGG	TCCTATGAGT	CCTCCAAGGA	CTACGTAGCT
101	TCAACACTGA	AGCCCTGTAAC	TTTGTCCTAA	GGTCCCCTAA	TGCGTAAGGA	AAAAGCCAG	CATTTCACGA	TAAAGCAGGA	AGCAGATGTA	GTGCTTGTGA
201	TATAATAGGG	AAGGTCTAAC	TTACAGGCTA	TTTAAGAAT	TGATTGCTAA	GTATCAATAT	GATCACGCTT	TTAAGATGAC	TCATGATCTT	CCACATTAAT
301	CTGTTGTTG	TGAAATTATA	TCTGTACATT	GCTGGCTATT	AAACACTGGC	TTGCTCTAA	CATAAACACT	ACTAAATAT	AGATTITCT	ATCTATCTAT
401	CTATCTATTG	ATCTATCTAT	CTATCTATCT	ATCTATCTAC	CTACCTACCT	ACCTATCATC	TATCTATCTA	TCAATCATGT	ATCTATCTAT	GTATGTATGT
501	ATGTATCTAT	CTATCTATCT	ATCTATCTAA	GTGTTGATGAA	GTGTTGATGAA	GTGTTGATGAA	ACATGCTGT	ATGTAGAGGT	AGGAGGACAA	TCCCTTGAAC
601	AGATCCCTCA	TCAACAAAGTT	GGATCTGGCC	AAATTGGCAT	AAAGAAAAAA	AAAGCTCAAT	TATTATGTTG	CTAAAGACCT	GCAAATTAAC	AACAATGTA
701	ACCCAAACAG	ACACAGCACC	AAACACTGGC	AGGGGGAGA	AAAACAGGAG	TTCTCATTAG	TTACTACTGA	TCACTCAAAA	CTGGTACAAC	TATGGTGGAA
801	GACAGTTTGT	TGGTTACAA	AACAACTCA	TCAGTTACTA	CTGAGTACTA	AAAAGCTGA	CAATTATGGT	GGAGAACAGT	TTGCTTGTG	ACAAAACTAG
901	CTATTCTTT	GGCCACATAA	TCACATTCTC	GCTCTCTGAT	ATTACCCAA	AAAGGCCAA	AGCTTATGTC	AGCAGACAGA	CTTGAACACT	TTTTAGCAG
1001	CTTGTTTAT	AATCCCCCCC	AATTGAAGCA	ACACCGATGC	CATTACAGCAG	GTGACGGATA	ATAATATCTAT	GGGAACACGT	AATATTACAG	AACAAGAGAA
1101	ATGAGATACCC	AGCCATGAAA	AGATATGATG	GATCTTGTAG	CTTATTACTA	AGTCAGACCT	AATCTGAAC	ACTGCTTACT	ATCTGATGGA	TCAAAGAAAGGA
1201	GGAAATCTCA	TCAGGTGACA	AGATGAACCT	TGTCACCTCT	TTAAGGGTTA	ATCCAGTGTGAG	ACAGGTGAGG	GGACTGAGAG	GATCCACCCC	AGGAAGACAA
1301	TATTCACTT	ACAATAACGT	ACTCTTCTCT	TACAGAATTA	TGGCTCTCTA	ATGCAGTTTC	CTTGTATGAT	AAAGTGTGAGC	ACATGAGTTC	AAGTCTGTGA
1401	CAGTGAAGCA	CAAATCAGGG	TGTGGTCAGG	TGAGCACCTG	GGACCTCAGC	ACTGTGAGGG	GCAGACCCAG	AAAACCTGCA	GGGGCTTGCT	AGCCAGTGTAG
1501	CTAGGCTTCA	GATTCACTG	GAAACCTCTT	TTTCACTGGGA	AAAAGSCGAA	GAATGGTAA	GCAGAATAC	CAGCATCTTC	CTTGTACAGT	ACACATGTG
1601	ATATATGCCA	CAAAATAATT	AATTAAGACT	AAATTTTTGG	GACTTTTAAG	AAAATGAAC	CTTCTTTTC	CTTGTGAAGT	AGCAGATTTC	CAAGTAGCAG
1701	GCTTCTCACT	GGCTTATCTG	GGAGGCTCTG	CCTGTGAGAC	TTTTGGATAA	GCTTTTGAAAT	TTAACACGGT	TCTGCTGAAG	AAGCCATTTC	TATATGCCAG
1801	GAGCTGCAGC	TAATATTTCT	TGTTAAATTG	GTGACTCTAG	TCTTCAGATAA	GTTCAGATAA	GATACCTCTTG	CTCAGAGACA	AAAGTAAAGGG	1900
1901	TCAGAGGTTG	CCACAAATTG	TCTATGCTT	TACAGAATTA	TGGCTCTCTA	ATGCAGTTTC	CTTGTATGAT	AACTGACTTC	GGCCTCTGCT	CTGGGTGCTT
2001	AACTTTCTC	ATGAACACCAC	CCCAGGAGCAT	TTATTAGCTC	TACTACCCCTC	CCCCCCCCCA	CCCCCGCCCC	CGACCCAGGG	GACTGAGCC	CAGAGACAAAC
2101	CCAAAGTCACA	AAGAGGATAT	CAGAGCCAA	GCAGGCTCAT	TAGATTTCTA	AACTCTGTC	ACCCCAAAAGT	AGAAAAGAGA	GCAGAAAACAC	AACCGAGAGAT
2201	CCCCTCAAG	AGGTCTCTCT	TTCTCTAGGG	AACCTGTCCT	CATCCAGCCG	CTTACCTCTC	CCCTGGGTC	TCTTCCAGA	ATCTTCTTTT	TTCTTCTTTT
2301	CCCCCTAGTC	AGCACATCTGG	CTGGAGAAGA	ACCAATTTC	TCCTGGGAGA	GTAGACTCAC	TGCTTCCCA	TGCTTAAAG	AAGGAACACG	AGCAGTATGG
2401	CTAGGCCGCG	TCCCCAGGCC	GGCCTCTCCC	AATCTCATAC	AACTGGGAA	GCCCCCTGTAC	ACATAGGCTT	AGGTCAAGAA	CCAGCAACAC	GGGACATAGA
2501	TAACGCTCTG	TAGCTGACCA	ATTAACTGCA	GCTCTCTCTT	TTAAAGTACT	TATTCAAGGG	CTGAGTGTGTT	AAAATGTTG	ATGGGTGTT	CAGAGGACCC
2601	AAGTCCGGGT	CCCGAGCATTC	ACATGGGGT	GGGGTGGGAG	CTCATAGTCG	CTTGCACAGC	ACCGAGGAA	TCTACTCTTC	ACCCCTCTGC	CTCAGCAGGC
2701	ACCAGAGGCC	ATGTGCATAT	ACCCAACAC	GACAAAAGCA	CTAATTAAAA	GGTGGCAGA	CCCTTTAATC	CCAGCACTTG	GGAGGCAAAG	GCAAGCGGCT
2801	TTTCTGAGT	CAAGGGCAGC	CTGGTTACAG	ACTGGATGTC	AGGACAGCCG	AGACACTAGA	GAGAAACCTT	GTGCAAAAAA	AACAAAGCCA	AAAACCAAAAC
2901	AAAAAAAAGA	GTAAAAAGA	TTTTTAAAG	AAAGCCAAAG	ATTAGTCTG	AAACAGACAT	TTGCTGGAG	CGGGGGCGCT	TTACACTTAA	AAAATTAGTA
3001	TTCATGGTT	GGGGCGATT	TACGAAAGAG	AGGAGACTCG	GTTCAGGAGC	ATGAAGCTGG	CAACTCAAGG	ACAGCAAGTC	CTCAGGAGCT	TGGGACTTGA
3101	ACCATTAACG	QACCCAGTTC	TGCTGTTGCC	TGGGAACAGA	GAAGGGAGGA	GTCGCCAGAG	AGAAGGGAGG	AGGGGCCAGG	GAGGGGCCA	CCTTCTGAGCT
3201	GGCCGCCCTG	ACGACAGCAG	GTGATTTTT	TTTTTTCT	TCAGCAGCGA	TACTCTCAG	ATCTTCTTC	GATCACCCAA	CTTCCCTTGC	TGACCCGCAA
3301	AAAAGGGTGG	GGGCCCTCT	CTCAGCAGA	AGACAGCAGC	GGCAGCGGCT	GGGGCATCAC	CGGGGGTATA	GATAGAGGCC	TTTTTGCTCT	CTGCTCTGTC
3401	TGGGTGTTGAG	GTGACCCGTC	CCAGGCTCTG	CTAGGCGGCC	GGGCTGAAACCA	GACAGAAGAG	AGATAAAAGC	CTGCTTGGGA	TCTCTCTGTC	GCCATGGCTT
3501	AAAGCCACAC	CTCTTCTGCC	AAGCATCTCC	TTGCTCTGCC	GGGGCTCTG	AGACACCCGA	GGGCGCCCTA	AGACGCCCTA	GGCCTTGGACT	3600
3601	CTGGGAGCGCT	GAGGCTCTGCT	CCTATTCTTC	ATGCGCCACAA	TGCGCAGCTTC	GGGAGGAGG	GTTCAGCAGAG	GGACTTTACG	GACTTTACT	3700
3701	CAGCGGTACC	TTGTCCCCGG	GTGCTCTT	AGGGTGGAGG	ACGAGGCAAA	GGGCTTCTAA	GGGAAGGAAG	CGGTGGGAAC	CACATTGGCG	GGTCTGGTT
3801	GGGGTTAAAG	GGAGATTGGA	GATTGTTATT	AGGACACCAA	AAAGGCTTAC	TCGCTACAT	GGGGCTGGCC	TGCTCATCAA	GGGCGCTGTC	CATGCCCGC
3901	TTCTGGAAC	AGCTGGACAA	GGCCGAGCAT	GGGGCTGGCG	TGGTTTTCAC	CAAGTACTCG	GAGGGCAGCG	AAACCCAGG	CGGCCCCCTCG	CAGCGCCAG
4001	CTCCGCTGCA	GGCCGCGTTA	GGCCGCCCCCT	CCCGCTGCTGT	CGCCATAGAG	ACGCAGCCAG	CCCAGGGAGA	GTCGGATGCA	GTTGCCGGG	CAACAGGGCT
4101	TGCGCCGGGG	CCCAGCGTCG	ACCCGAGACAC	TGTAGCCG	CCCGGGCCGA	GGGGCTGTTG	CTTGGGCCGG	GCCCTCAGCT	CACTTCCGG	CTCAGGCC
4201	CGGACTCTCG	TGATGCGACA	GGACTACCCG	GGCTTGAAGA	TGAGCCGGAG	TCAGCAGGGC	GGAGGCCAGG	TGAGCCGAGT	CCAGCCGCTC	4300
4301	TCGAGGCCGA	GACCCAGTAC	TCCGGCCCTG	GGCCGCTGCC	GGCCGCTGCC	GGCCGCGGG	ACCRCTCTG	GATCCCCAG	CGGTTGCAA	TCCCTGGAC
4401	TTCGAGGCT	TCCCCACCTG	TTCTCGGGGT	GGCCAAAGCGT	GGCCCTCAGA	GGCCAGGAGC	CGGGCCCATG	CAACTCTCTG	CTGATGCCCG	GGACCCGGAG
4501	GGTGTGTTGAG	GAGGGGGGGT	GCTGCGGCGA	GGAAAGGGCG	CCGGCTGTTG	CAACGTCGAC	AGGAGGATGAG	AGCATGGATG	GTGACTCGA	4600
4601	ACGAAGGGCA	CGAAGAGAAG	CTCTCTGCC	CAAGCCAACT	CCAGGCCCCA	GGGGTGGCT	CTGAGCTGTC	AAAGGCTTAC	GGTGAGATC	AGCGTGCAC
4701	ACCGAGGAAG	GCAGGGCCAG	CATGGATGTT	GACTCCAGC	GAAGGGCAGC	AAAGAGAAGCC	TCTGCCCTCA	GCCCAATCC	AGACCCAGGA	GGGTGGCTCT
4801	CGACGTGAAAG	TGCACTCTGG	TGCACTGATC	CGTGAACAC	CGAGGAAGGC	TGGAGCCCTG	TGATGTTGTA	CTCGCAGGGA	AGGGCAGGAG	4900
4901	TGCGCCACCG	CCAGCTCTAG	GGGGGGAGGG	AGCTGGAAAG	GGCTGGTGTG	CAAGCAGGAG	GGGGCCCTG	CCAGCAGGAG	AGGAAGGGGG	GGCCGGCTCTG
5001	GATGGTGGCT	CGCTCGGAGG	GGCACGAAACA	GACACCCGCT	GGCCATGCC	AAGGCACAGG	GGCTGAAGGA	AGCAAGGGGC	GGCGGGTGGC	AGATGCCCTC
5101	AAACAGGCAA	TCCCGGAGGA	GGTGGCGAGT	ACAGTAAGCA	GCTCTTACAG	GTGAGACTGG	GGCAGCAGGT	GATGTCGTC	ACCCCTCATCC	CTTCGCGAGG
5201	ACCAACCAATT	TAACCCCCAC	ACCGAAAGCT	TGCGCTTAC	TTCTCTCTC	AGGGGCAAGAC	CACACCTCTT	CAGGCCACAT	CCACACCCCT	TTCACCCAGG
5301	ACTTACTCTG	CCACCTCTG	GGAAAGGCCCT	TAACAGTTTC	CAACAGCTGT	TTCCCTAGCTT	GTTTTTGTG	CCACCCCTAA	GCCACATTTT	CCTCTTGGCT
5401	GCCTAGCTCA	GCTCCCTATC	TGCCCCACAG	AGACCTCTGTC	AGTTTCTCCC	TGTCATCATCA	GTTCGCCCTG	TGTCCTCAGCC	TGGCTCCCGT	CCCTAGTGCG
5501	CTCCACTCTG	TCACCTCTCA	CTTACCTCTC	CGTGAACAGC	TTTCTCTCTC	CCAGCTCTAC	ATTCGCTCTG	TTGATTCTCTA	TTGATTCTCT	CCCCAGCTTCT
5601	GGCCGACACT	CAAGCCACAC	ACCCCTTTCC	AGATTTCTCT	TAATGCTCTC	TAATACTCTG	CTCTAGTACT	TCAGTCATC	CCCCCTCTG	CTCTTCAGTA
5701	GCTTGTACAC	ATTGGGGAGG	CTTCTTAACC	TTCCCTGGCC	TTTCACATTCT	TATCTGTAAC	TGGGATCAAT	AATAGTCAAC	TTAGAAGCTAT	CCACACAGGA
5801	CTGATTTGAG	CTGAGATGAG	CTGTGAGCTT	TTGAGGATAG	ACTAAATGCG	AAACATGCTC	CTGCTGATG	GGAGATGAGA	AGAGTACTG	CGGGATGACT
5901	GGCCATGCC	GAGATSTAGT	GAGGGCTT	TTTCTTCAATT	TAATCTCTCT	ATGTGATGCC	CCCTTATTCTT	TGATCTGTC	TCTCTGGATG	CCCTAGGCC
6001	CTTCCCTGTT	GAGGGCAGCTC	CTTCTCTCT	TTGTGTTCA	ATGTTCTAT	TTTTCTTT	AATTAATTAG	TTAATTAAATT	AATTTACTTA	TTCCCTTTAC
6101	ATCCCTGCTCA	CTGCCCCCTTA	CACTGCTCTC	GGGGCTCTCC	GGGGCTCTCC	GGGGCTCTCC	GGGGCTCTCC	GGGGCTCTCC	GGTACATCAA	6200
6201	GTTCCTGCG	GGCTAGTCTA	ATCCTCTCC	ACTCAGGCCA	AAACAGTCAA	CCCAGCTAGA	AGAACATATT	CCACAGAC	CCACAGCTT	TTGGGGTAG
6301	CCCCCATTCC	AGTTGTTTGG	GACCCACATG	AAGACCAAGC	TGCACTCTG	CTGTTATGAT	GCAGAGAGGT	CTAGGTCAG	CCCATGATG	CTCTTGGTT
6401	TGTGGTTGAG	TCTCTGAGAA	CCCCTAAGGG	TTCCAGGTTA	TTGAGCTCTG	TTGAGCTCTC	TGTTGGAGTTC	CTATCTCTT	AGGGGCCAC	ATTCCTCTC
6501	CCTATACTTC	CACAAGACTC	CCCAAGCTCC	ATCCACTGTT	GGGGCTCTGG	TGTCAGTATC	TGTCAGTATC	AGCTGCTGGG	TGGAGCTTCT	CAAAGTCAG
6601	ACATAATAGT	GTCCCTTATC	CTCTGGCACA	TTCACTGTT	TTGAAAATGA	ACGCTTTCAA	ACTTAGAAAC	ATCCCCCAT	TTCCCCTCAG	CACACCTGT
6701	TTATACAATT	CTCCCTGTC	TGCACTGAGC	CTTGGCCCTG	TTTCTCACCT	CACATCCATC	CACTGCACT	CTCTGAATGT	TTAGCTTTTG	GGCCTTCCTT
6801	TAATGTTCTA	CCACACATCAG	CTAGCTGATA	GTATCTGAGT	GACTTGAACAA	TGTTAGCAGCA	CCGGGCTTGG	GTACTGAGGA	AGCAGATGTG	TGTGATAATG
6901	ATGGGAGCTG	CCTTGTGCG	CTGTGACTTC	TTGAGCTCTC	ACAGTCAAGT	AGGTGCTCTT	TTCCCTAAGT	TGGAAGGAAAG	GGCTACAGAG	7000
7001	TTAGTGTCTT	CTGCTAACCC	TGTTGTTGGG	CGCTTCAGTA	GGCTCTGAG	GCACCTCTCT	CATGCAGCCA	GAAGACTGGC	ATAAAATAGAG	ACTCTATG
7101	TAAGGCAAA	GTCAGAGCCC	TGCCCTAGAA	TTC						7133

FIGURE 2

A

1	CCTGGAGTTG	GTCGCCAGCT	GCTTGTAGT	AGTGAGTTC	AGRAAGCC	GGCGAGAAA	AAAATAAAG	TACCTATTA	AAACTATGA	GGGCCTGATG	100
101	AGATGGCTCA	GTCGGTTAGA	GCACCCGAGT	GCTCCTCCGA	AGGTCCAGRG	TTCATTCCTCC	GGCAACCTCA	TGGTGGGCTCA	CAACCATCGA	TATATGAGTC	200
201	TGACTCCCTC	TTCGGAGTG	TCTGAAAGCA	GCTAAGAAGT	ACTTCAAT	ATTAAATTA	TAATATATA	AAATACTCT	AAAAAMAAA	ACTTATGAGA	300
301	ACATGGGGC	AGGAAAGCTC	CCCTAAAGG	CCATTTGTTA	TAGCTGAGA	GTGGTTTCA	CCTGATGAGA	CTGGTACGCA	GCACATCTG	CTCTTGAGA	400
401	TCACTTCCTC	ATCCCTTAT	GATGGTTGC	ACCATTTGT	ACTTCCAGT	CTGGGGGAC	CTGGGGGAC	CTGGGGGAC	ACGAGGCAA	ACACCCACAC	500
501	TCATTAATG	AAATACCAA	CTCTTAACTG	TITTTGTTCA	CCTGTCCTCA	CCCTCCGG	TGGGGTGGCA	GARACATCA	GCTATGCTCA	ACTTTCAGT	600
601	AAGTTCCTGG	GGCTGAAATT	CCATTCCTC	TCCGATCCA	GGAGACRT	TTAACCCCTG	AGCCATCTCC	TTGGGCTG	GAARGCCT	TAGGGTGTG	700
701	TATCATTCGG	AGGAATAAT	TGATATACA	TITATCATCA	TTTACATGG	ACTCTGAT	TTTACATGG	ATTTAGAAA	TGACACAGC	AGTCCTTC	800
801	AACATCTGG	GAAGSTAGCG	AGGAGTGTG	TTTGGATGCG	TTTGGATGCG	TTTGGATGCG	TTTGGATGCG	TTTGGATGCG	TTTGGATGCG	ACCAAGGATT	900
901	CCCCTTAA	AAATTTGCG	AACTATAGCC	TCAATATGIA	AACTGTTAA	TACGGTAA	AACTGTTAA	TACGGTAA	AACTGTTAA	AACTGTTAA	1000
1001	AAAGAGGCCA	GCTTGTAGT	AGTGGGCTG	TTGAGAAGA	TAAGGATTIC	TTGAGAATCA	TAAGGATTIC	TTGAGAATCA	TAAGGATTIC	TTGAGAATCA	1100
1101	AGTGGTAA	TGATGGGG	ACATTTCTG	GGTATGAA	AAATTCCTC	GGHAGGCTT	GGHAGGCTT	GGHAGGCTT	GGHAGGCTT	GGHAGGCTT	1200
1201	ATAGAGAGC	ACCTGAAAT	CTGAGGAGT	TATAGTGTGT	TTTAAATTT	CTTCACAGG	CCCTCAGTGT	GTGTAAAGG	GTGTAAAGG	GTGTAAAGG	1300
1301	ACAAAGAGA	GACATGTTA	CTGATGTTA	TAGCTGTTT	TAGCTGTTT	TAGCTGTTT	TAGCTGTTT	TAGCTGTTT	TAGCTGTTT	TAGCTGTTT	1400
1401	TTCTGGGCG	TTGGGAGAGC	AACTCTATG	CTCTTATGCA	AACTCTATG	CTCTTATGCA	AACTCTATG	CTCTTATGCA	AACTCTATG	CTCTTATGCA	1500
1501	CTCTTCCTC	TCTTATGCG	CTGTTGCTG	ATGTTGGG	GGGGGGGG	CTGTTGCTG	CTGTTGCTG	CTGTTGCTG	CTGTTGCTG	CTGTTGCTG	1600
1601	TTCATCATG	ATGTTGGG	CACTATCA	TTTACATCA	TTTACATCA	TTTACATCA	TTTACATCA	TTTACATCA	TTTACATCA	TTTACATCA	1700
1701	GAGGAACAC	ATGTTAGCA	GTCTGGTGT	TCTGCTCT	TCTGCTCT	TCTGCTCT	TCTGCTCT	TCTGCTCT	TCTGCTCT	TCTGCTCT	1800
1801	ATTTCTTGA	AAATCTTGA	CTCTCAATA	ATTTCTTGA	CTCTCAATA	ATTTCTTGA	CTCTCAATA	ATTTCTTGA	CTCTCAATA	ATTTCTTGA	1881

B

A4080	AGAGTCGGATGCCAGTGGCCGCAACA
770	GGCTCTCCAGCACCCCTCGGCGTCCG
AS2	AAACGGGTGCGCTGGAGGAA

FIGURE 3

4 / 13

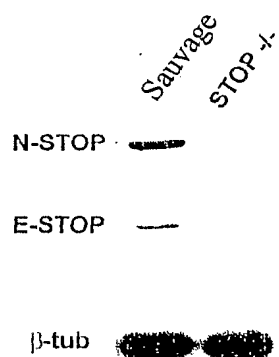


FIGURE 4

5 / 13

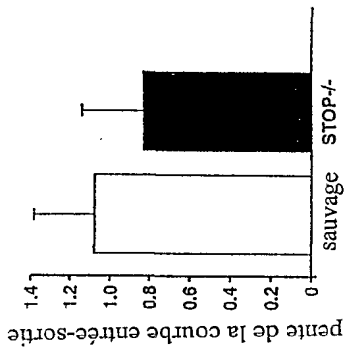


FIGURE 5 (c)

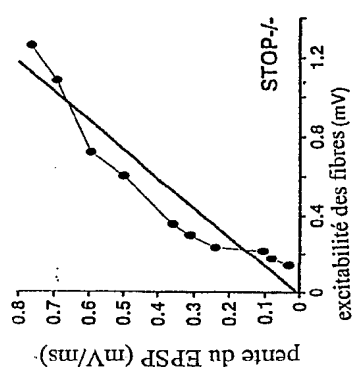


FIGURE 5 (b)

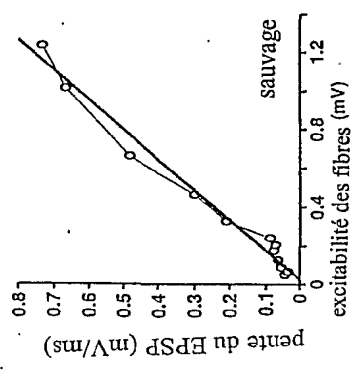


FIGURE 5 (a)

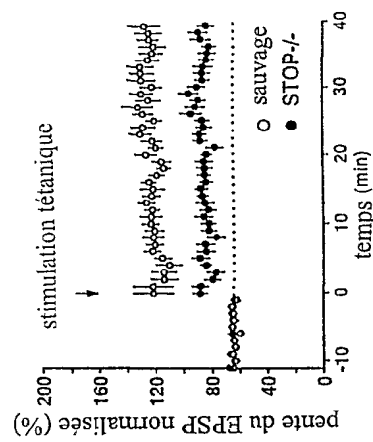


FIGURE 5 (b)

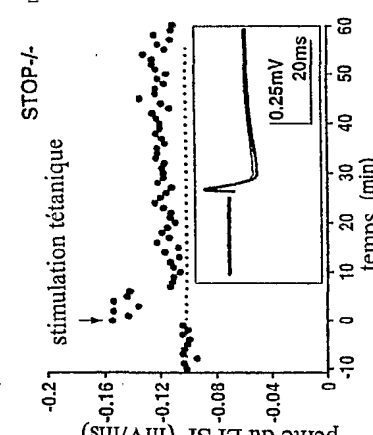


FIGURE 5 (c)

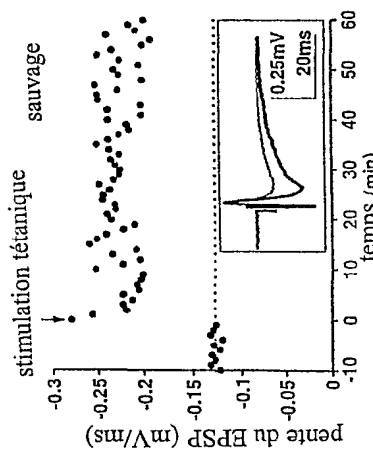


FIGURE 6 (a)

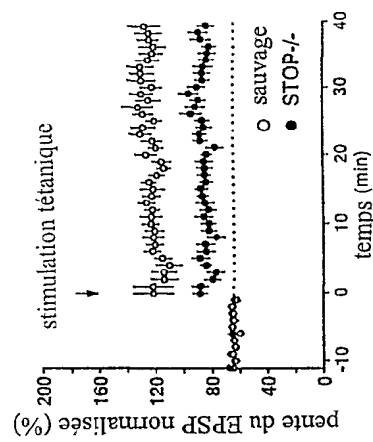


FIGURE 6 (c)

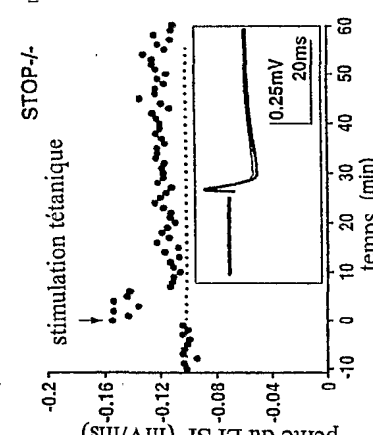


FIGURE 6 (b)

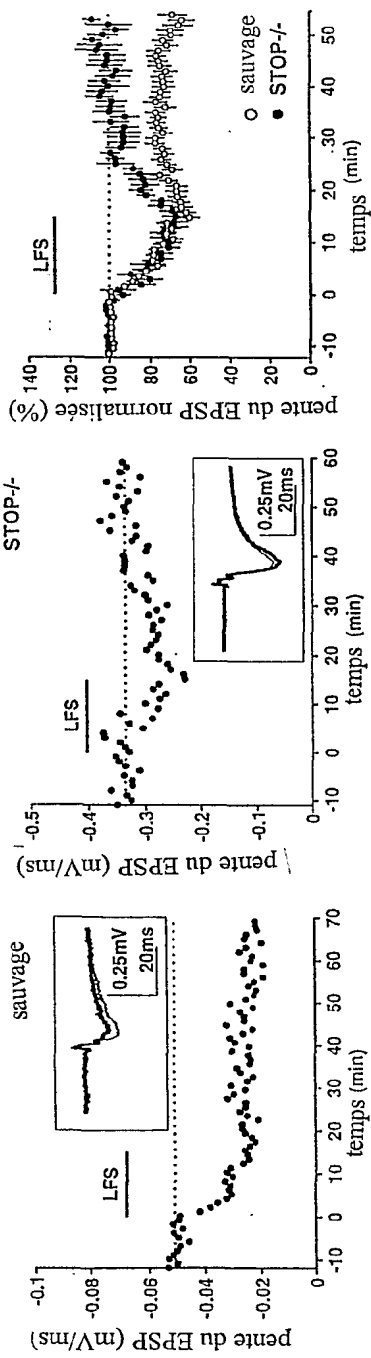


FIGURE 7 (a)

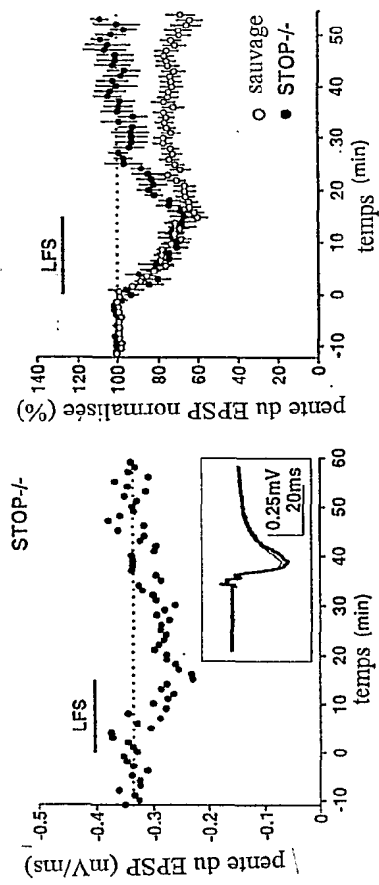


FIGURE 7 (b)

FIGURE 7 (c)

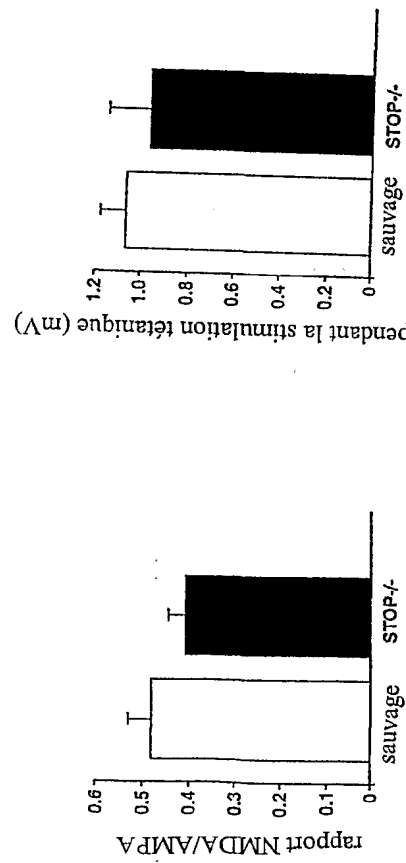


FIGURE 8A

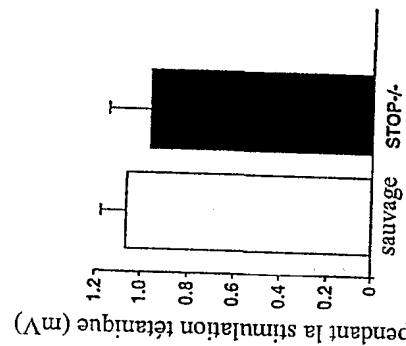
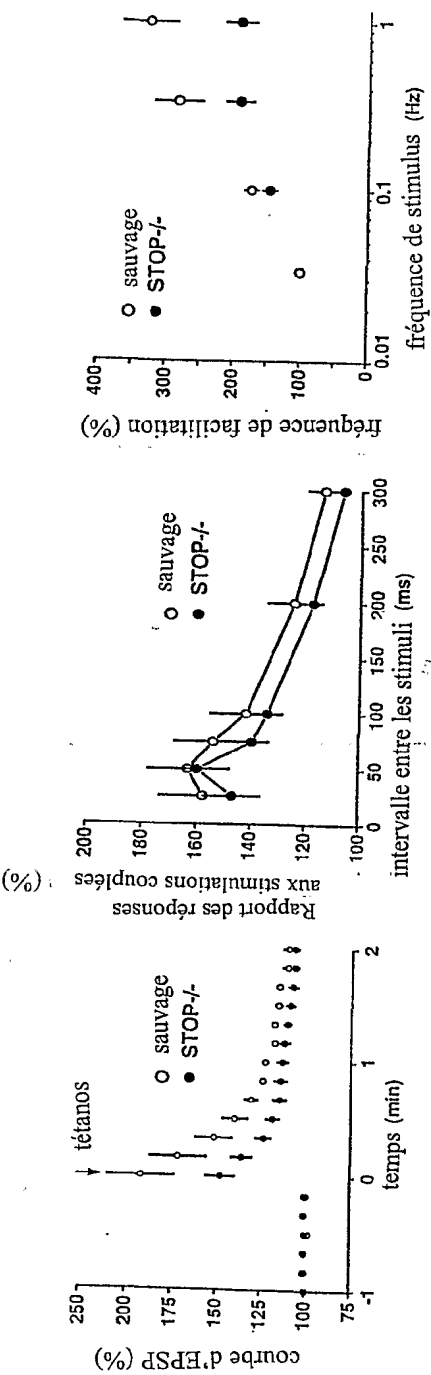


FIGURE 8B

7 / 13



8 / 13

% de survie des nouveaux-nés	
Femelles primipares sauvages (n=6)	93 % (45/48)
Femelles primipares STOP -/- (n=8)	0 % (0/54)

FIGURE 10a

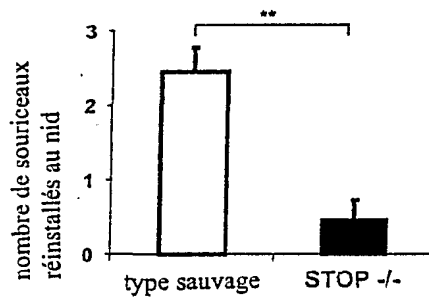


FIGURE 10b

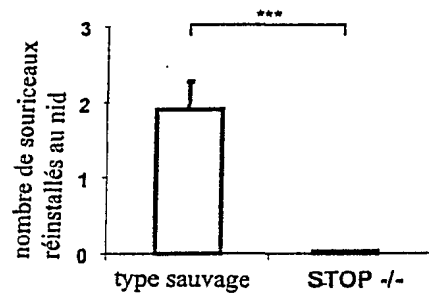


FIGURE 10c

9 / 13

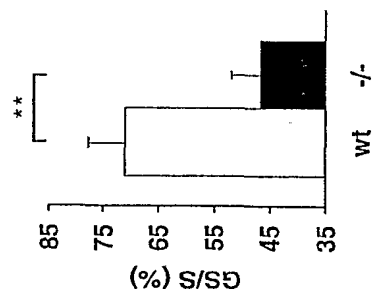


FIGURE 11 (c)

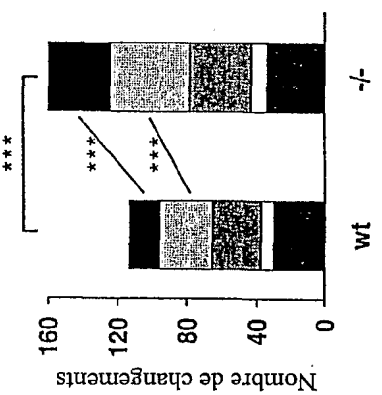


FIGURE 11 (b)

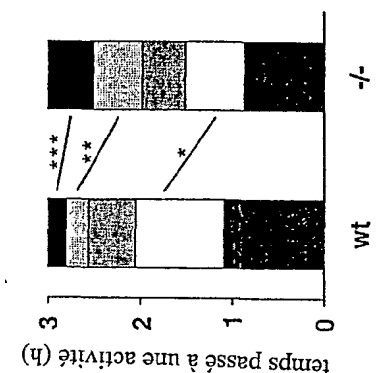


FIGURE 11 (a)

10 / 13

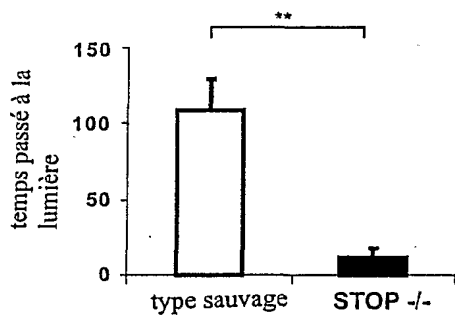


FIGURE 12 (a)

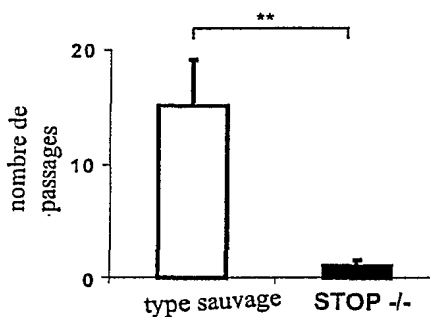


FIGURE 12 (b)

11/13

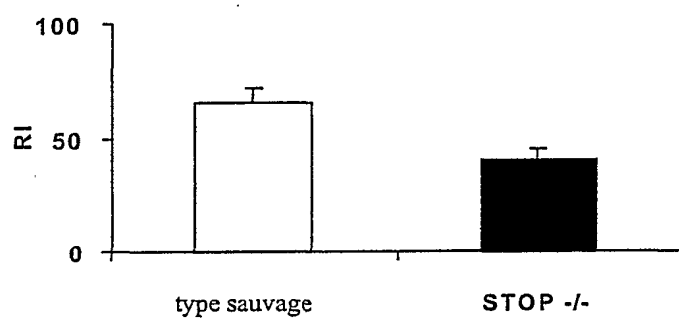


FIGURE 13

12/13

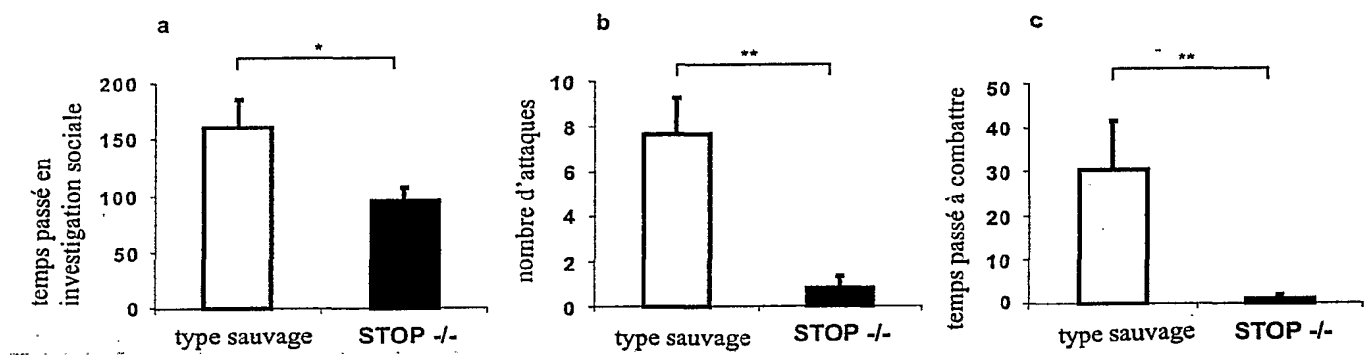


FIGURE 14

13 / 13

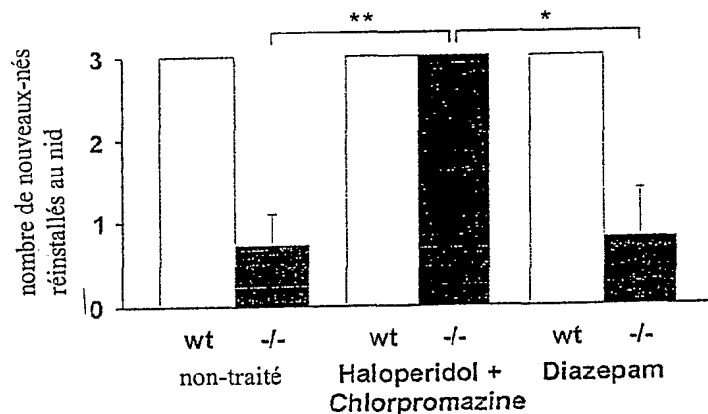


FIGURE 15A

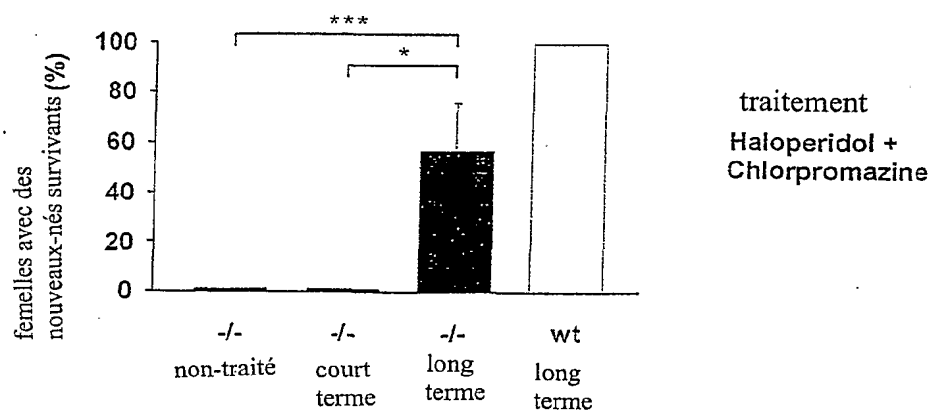


FIGURE 15B

LISTE DE SEQUENCES

<110> COMMISSARIAT A L'ENERGIE ATOMIQUE
INSTITUT NATIONAL DE LA SANTE ET DE LA RECHERCHE MEDICALE-INSERM
ANDRIEUX Annie
JOB Didier
DENARIER Eric
BOSC Christophe
VERNET Muriel

<120> MAMMIFERES NON-HUMAINS TRANSGENIQUES OU RECOMBINANTS ET LEURS
APPLICATIONS DANS LE CRIBLAGE DE MEDICAMENTS PSYCHOACTIFS.

<130> SEQ263FR63

<140>

<141>

<160> 6

<170> PatentIn Ver. 2.1

<210> 1
<211> 7133
<212> ADN
<213> Mus musculus

<400> 1

gaattcaaag atgccattat ctgcgtttct ttcgtcccta cttctgatct cacggcagcc 60
ccagcagagg tccttatgagt cctccaagga ctacgttagt tcaacactga agcctgtaac 120
tttgccttcat ggtcccccaa tgcgtaaagga aaaagcccag cattcacga taaagcagga 180
agcaagtgta gtgcctttga tataataggg aaggctcaac ttacaggcta ttttaagaat 240
tgattgtctaa gtatcaaatat gatcacgctt ttaagatgac tcatgatctt ccacattaat 300
ctgttgtgtg tggaaattata tctgtacatt gctggctatt aaaccatggc ttgctcccaa 360
cataaacact actaaatatc agattttct atctatctat ctatctattt atctatctat 420
ctatctatct atctatctac ctacctaccc acctatctc tatctatcta tcaatcatgt 480
atgtatgtat gtatgtatgt atgtatctat ctatctatct atctatctaa gtgtgtatga 540
gtgttagctgg gcataaacatc acatgcttgc atgttagaggt aggaggacaa tcccttgaac 600
agatccctca tcaacaagtt ggatctggcc aaattggcat aaaaaaaa aagctcaatg 660
tattatgttgc taaaagactt gcaaattaac aacaaatgtt acccaaacag acacagcacc 720
aaacactggc aagggggaga gaaacaggag ttctcattag ttactactga tcactcaaaa 780
ctggtacaac tatggtgaa gacagttgt tttgttacaa aactaactca tcagttacta 840
ctgagttactc aaaactgttca caattatgtt ggaagacagt ttgctttgtt aaaaaactag 900
ctattctttt ggccacataa tcacaatctt gctccttgat attacccaaa aagagccaa 960
agcttatgtc agcacagaaa cctgaacact gttttagcag ctttgtttat aattcccccc 1020
aattgaagca accagcatgc cattcagcag gtgacgata aataatctat gggAACACGT 1080
aatattacag aacaagagaa atgagatacc agccatgaaa agatatgtt gatccttgag 1140
cttattacta agtcagagct aatctgaaac actgcttact atctgatggc tcaaaaagga 1200
ggaaatctacc tcaggtgaca agatgaacct tgtcacctcc ttaagggtt atccagttag 1260
acaggtgagg ggactgagag gatccacccc aggaaagaca tattcacctt acaataacgt 1320
actttccct tacagaatta tggcctccata atgcagttcc ctgtctatgc aagtgttagc 1380
acatgagttc aagtccctgca cagtgaagca caaatcaggg tgggtcagg tgagcacctg 1440
ggacctcagc actgtgaggg gcagagccag gaaaactgca ggggcttgct agccagttag 1500
cctagcttca gattcagtgaa gaaaccttgc ttcatggga aaaaggcaga gaatggtaga 1560
gcagaatacc cagcatcctc ccttagacgt acacatgtgc atatatgccaa 1620
aattaagagt aaatatttgg gacttttaag aaaaatgaact ctttctttc cttgtgaagt 1680
agcagattc caagtagcag gcttctcagt ggcttatctg ggaggctctg cctgtgagac 1740
ttttggataa gctttgaat attaacaggt tctgctgaag aagccatttc tataatgccag 1800

gagctgcagc taatatttct tgtgaattgt gtcacttcag tcttcagaaaa aactttgtaa 1860
 gttcagaata gatacccttg ctcagagaca aagttaaggg tcagagggtt ccacaatttg 1920
 tctatgcctt agagccaaaa gtgcagaagc caggatccaa atccctgagt atggactcca 1980
 ggcttctgtc ctgggtgctt aactttcctc atgaaaccac cccgaggcat ttattagctc 2040
 tactaccctc ccccccccca ccccccgccc cgaccaggg gactgcagcc cagagacaac 2100
 ccaagtacaca aagagagtat cagagccaaa gcaggtccat tagattccaa aatctgttca 2160
 accccaaagt agaaaagaag gcagaaaacac aaccgagaat cccctcaaag aggtctccct 2220
 tttccttaggg aactgtctct catccagccg cttacotcct cccttgggtc tctttccaga 2280
 atcttcctt ttctccctt cccccagatgc agcatctggg ctggagaaga accaatttt 2340
 tcctgggaga gtagactcac tgcttcccag ttgcttaaag aaggaacagc cagagtatgg 2400
 ctaggccgc ttcccaggcc ggcctctccc aatctcatac aactggggaa gcccctgtac 2460
 acataggott aggtcaagaa ccagcaacac ggagcataag tacagcctga tagctgacca 2520
 attaactgca gctctccctt taaaagtatc tattcagggg ctgagtggtt aaaaacttgt 2580
 attggtgttc cagaggaccc aagtccgggt cccagcattc acatgggggt ggggtggag 2640
 ctcatagtcg cctgcacagc accaggaaa tctacttctg accctctggc ctcagcaggc 2700
 accagagccc atgtgcatac acccaacaca gacaaaagca ctaattaaaaa ggtggogcaa 2760
 cccttaatc ccagcacttg ggaggcaaaag gcaagcggct tttctgagtt caaggccagc 2820
 ctggttacag actgagttcc aggacagcca agactacaga gagaaaccct gttcgaaaaa 2880
 acaaaggcca aaaaccaaaa aaaaaaaaaa gtaaaaaaaga tttttaaaag aagccaaagc 2940
 atttagtctg aaacagacat ttcatggagg cggggcggtc ttacacttaa aaaatttagta 3000
 ttcattgggt ggggcgattt tacgaaagag aggagactcg gttttaggac atgaagctgg 3060
 caactcaagg acagcaagtc ctcaggagct tggacttga acctatcaag gaccaggc 3120
 tgctgttgcc tgggaaacaga gaaggaggaa gctgcccagag agaaggaggag aggggacagg 3180
 gagagggcaa ctttcagct ggcgcctctg acgacagcag gtgatttttt ttttttttct 3240
 gcagcgcgca tactctcagc atctttctt gatcaccctt cctcccttgc tgagccgcaa 3300
 aaaagggtgg ggccgcctct ctgcagcaga agacgacagc ggcagcggct gccgcac 3360
 cgggggtata gatagaggcc gtttgcctct ctgctctgtc tgggttggag gtgacccgt 3420
 ccaaggctcg ctaggcggcc ggctgaacca gacagaaaagg agataaaagc ctgcttgca 3480
 tccttcctgc gccatggctt aagcccacag cctctttgcc aagcatctcc ttgctctgccc 3540
 ggggtctgtc agacaccgca gtcgcagaga gggcgcgccc agaccccta ggcctggact 3600
 ctgggacgct gggcctcgct cctattctt actgcccaca gcagctccctc tgccaggc 3660
 gtttgcagcc ggcaatcgag ggactttacg gactttatct cagcggtaacc ttgtccccgg 3720
 gtgtcttttgc agggtggagg acgaggaaa gggcttctaa gggagggaaag cggtggaac 3780
 cacattggcg ggtctgggtt ggggttaaag ggagattgga gatttattttt aggaccacaa 3840
 aaaggctttg tggctaacat ggcgtggccg tgcatacaca gggccctgtc catcgccccgc 3900
 ttctggAACC agctggacaa ggcggacatt ggggtgcgc tggtttac caagtactcg 3960
 gagggccaccc aacaccaggc cccccctccg cagccgcctc ctccgcgtca gcccgcgtta 4020
 gcccggccct cgcgtctgt cgcctatagag acgcagcccg cccaggggaga gtcggatgca 4080
 gttggccggg caacagggtc tgccggccggg cccagcgtcg accgcggagac ttagccgccc 4140
 cccggccggg gcccggctggg cttgggcgcg gcctcagccct ccacttccgg ctcaggcccc 4200
 gcgactcgg tgatgcgaca ggactaccgc gcctggaaag tgccggccgc cgagccaagc 4260
 tgcggccgcg gcagcggata ccagccgtcc gacgcgcctc tgagcgcgca gaccaggatc 4320
 cagaaggact tccgcgcctg gccgtgcgc cggcgcgggg accatccctg gatccccaaag 4380
 ccgggtcaaa tccctgcgac ttgcagccct tcccaacctt ttctcggggt gcccaagcgt 4440
 cggcctcaga gccaagagcg cggcccccattt caactttctg ctgatgcggg ggaccggag 4500
 ggtgtctggag gagccgggtt gttggggca gggaaaggcgct cccgtttaga ccagcgcgac 4560
 acacgttagga aggccaggcc agcatggatg gtgactcgca acgaaggcga cgaagagaag 4620
 cctctgcggcc cagcccaatc ccagaccac gagggtggc ctgcagctgg aaaggcgtcc 4680
 ggtgcagatc agcgtgcac acgcaggaaag gcaggcccg catggatggt gactcgccgc 4740
 gaagggcactg aagagaagcc tttggcccca gcccaatccc agacccaggaa ggggtggctt 4800
 gcagctggaa aggccgtccgg tgccatcgatc cgtgcacacac gcagggaggc tggacccgc 4860
 tggatggtgc tccgcacggc aggccacggc gagacgcgc tgccacccgc ccagtcgc 4920
 acccaggaggc gggcccccgc agtggaaag gcatctggt cagacggcgc cgacacgagg 4980
 aggaaggccgg gggccggctg gatggtgcgt cgctcgagg ggcacgaaca gacaccgc 5040
 gcccatgccc aaggccacgg gcctgaagga agcaaggggc ggcgggtggc agatgcctc 5100
 aacaggccaa tccggggagga gttggcgagt acagtaagca gctttacag gtgagactgg 5160
 ggcagcaggct gatgtggc accctcatcc ctcgcgcagg accaccattt ctaccccac 5220
 accgaaagct tcgcatttcg cttttctcc agggccagac cacacccattt cagccacattt 5280

ccagaaccct ttcaacccag actttactgc ccaccctgtc gaaagccct taacagttc 5340
 cacactggtt ttcccagtt gtttttgtg ccaccctaa gccacattt cctttggct 5400
 gcctagctca gctccctatc tgccccacag agaccctgtc agttccccc tgttcatca 5460
 gttcgctgc tggcccgcc tggctccgt ccctagtcgc ctccactcat tcacttctca 5520
 cttacttccc cgtgagaccc tttctctcc ccagtctcac attgtcctgg tctttccta 5580
 ttgattcctc ccccaagtct ggccgacact caagcggcac accctttcc agatttctct 5640
 acatgctctt taataactgg ctcttagtact tgaagtcatc cccctctgc ctcttcagta 5700
 gctttgacac attggggcgag ctttttaacc ttccctggcc ttacattct tatctgtaac 5760
 tgggatcaat aatagtcaac ttagaactat ccacacagga ctgattnaag ctgagatatt 5820
 ctgtacagtt ttgaggatag actaaatgcc aaacatggct cttagctgatg gaaagtggaa 5880
 agagatgact cgggatgact ggccatgcct gagatgttgtt gagaggtctt gttccattt 5940
 atactctctt atgtgatgcc cccttatttct tgattctgct tccctggatgt ccctagccct 6000
 cttccctgtt gaggcagctc ctttcttcc ttgtgttcag atgtttctat tttttctttt 6060
 aattaattt aattaattt aatttactta ttcccttac atcctgtca ctgcccccta 6120
 cagtccttct ccccatgccc cacttcttct ctaagtgggt ggggtctccc cctgagttac 6180
 tccctaccct ggtacatcaa gttctgcag ggctagtcta atcctctccc actcaggcca 6240
 aacaagtcaa cccagctaga agaacatatt ccacgaacag ccaacagctt tttggggtag 6300
 ccccccattcc agttgttgg gaccacatg aagaccaagc tgacatctg ctgtatatgt 6360
 gcagagaggt cttagtccag cccatgtatg ctcttgggt tgggttcag tctctgagaa 6420
 cccctaaggg ttccaggtt gttgactctg ttgatcttcc tggaggttc ctatctcctt 6480
 aggggcctac aatccttctc cctatacttc cacaagactc cccaagctcc atccactgtt 6540
 tggccatggg tggctgtatc tggctgagtc agctgctggg tggagctctt caaaggtag 6600
 acattaatgt gtcccttatac ctctggcaca ttcacgttcc ttgaaaatga acgctttcaa 6660
 acttagaaac atccccatc ttccctccacg cacaccctgt ttatacaatt ctccctgtgc 6720
 tgcatgcagc ctggccctgc tttctcacct cacatccatc cagtgcacat ctctgaatgt 6780
 tttagctttt ggccttcctt tatgtttcta ccaacatcag cttagctgata gatcctagtt 6840
 gacttgaaca tggtagcaca ccgggcttgg gtactgagga agcagatgtg tggataatg 6900
 atggagctgg ccttgtgcag ctgtgacttc tgaggcttcc attcagctcc acagtcagtt 6960
 aggtgcctt ttccctaaatg tggaaaggaag ggctacagag tttagtgcctt ctgctaaacc 7020
 tgggtgtggg cgcttcagta ggctctgcag gcactcctct catgcagcca gaagactggc 7080
 ataataatagag actctattgt taaggcaaaa gtcagagccc tgccctcagaa ttc 7133

<210> 2
 <211> 1881
 <212> ADN
 <213> Mus musculus

<400> 2
 ctgtgagttt gttggccagct cggtttacat agtgagttcc aggacagcca gggcagaaaa 60
 aaaaaaaaaaag taccttatata aaacttatga ggggctgggt agatggctca gtgggttaga 120
 gcacccgact gctttccga aggtccagag ttcaaatccc agcaaccaca tgggtggctca 180
 caaccatccg taatgagatc tgactccctc ttctggagt tctgaagaca gctacaatgt 240
 acttacatat aataaataaa taatataata aataaatctt aaaaaaaaaa acttatgaga 300
 acatccggcg agggacagtc ccttaaagag ccatttggta tagctgaaga gatggttca 360
 ctggatagca gcacttgcgt ctctgcaga gaacccaggc tcagttcctc atccctatat 420
 gatggttcgc aaccatttgt aactccagtt ccagggAAC caacgatacg tgtacataca 480
 agcaggcaaa acacccacac tcataaaatg aaatacacaat ctcttaactg tttttgttca 540
 cctgtctcca ccccccagtgt tgggttagca gacacatgca gctatgccta acttttacgt 600
 aagtctggg ggcctgaatt ccaatctca tcccgatcca gcaagcactt ttaccctgt 660
 agccatctcc ttggccttga gaaagcttct taagggttga ttcattccg aggaaaaat 720
 tgaatacata ttactatgg agtcatgtat atttaagaaa tgcacacagc atgcatttt 780
 gcctccctcc acgttctggaa aacactggag gaaggttaggc agggagtgtg ttttagatgg 840
 aatttaaaaat ttatccgggc cattttattt aagggcattt cagatctatc accaaggatt 900
 cccacttaga aaatttggac aacataagcc tcaaaaatgaa aagtaaaaaa aatgggttaa 960
 taccacagta aaaatattca tgaatccgac agtgtataac aaagaggcca gctactaagt 1020
 gtagaaagaa taaaggattc tgagaaatca tcatgtgaca aacatcatca tagcgagtgt 1080
 gctggcagc agttggtaaa tgatcggcg acaattcctt gggtaacaaa 1140

caaacgagtt gcagagtgtc aggtgacctt gcttagtgta gtagttggac tggataatga 1200
 atagcagac accttgaat ctgaggacgt tatagtgtt taaaaaatgt cttcacaagg 1260
 ccctcatgtt gtgtaaagga gatttaaaaa ttttagttca aaaaaaagaa gacatgtta 1320
 ctgtgtatct tagcctgtt tagttctggg acagacacca tagataccga gctgaaacaa 1380
 caagtgcctt ttacccacag ttccaggcg tggaaagtac aacatcaaag ctctgatgca 1440
 agtgggtgtcc gtgaggatcc atttcctgtct atgcagatgc tgcaaacata tgactccggc 1500
 ctcttcctct tcatttaaggg catgtgtctg aagtgggtg ggtggcatc ctcatgactt 1560
 catctgtgtt ttcccttagag atagcccctt tggtagggt ttiaacatag atgtttggtg 1620
 cacacataca tttagtctat gatagtctct agcaacagcc agttgggagg gaaggagagg 1680
 gagagggaga gagagagaga gagagaacac atgtatgcga gtctgtgatt tctagcttct 1740
 tagcttctta tatttgatct aattttcatt tattttatga ttctgaaact ctgttgttt 1800
 attacttga aattcttagga ctccaaataa atattttga tctaaaata ttatcattat 1860
 tttattctga tcccagaatt c 1881

<210> 3
 <211> 27
 <212> ADN
 <213> Séquence artificielle

<220>
 <223> Description de la séquence artificielle:amorce
 oligonucléotidique

<400> 3
 agagtcggat gcagttgccccc ggcaaca

27

<210> 4
 <211> 27
 <212> ADN
 <213> Séquence artificielle

<220>
 <223> Description de la séquence artificielle:amorce
 oligonucléotidique

<400> 4
 ggctcctcca gcaccctcccg ggtcccg

27

<210> 5
 <211> 21
 <212> ADN
 <213> Séquence artificielle

<220>
 <223> Description de la séquence artificielle:amorce
 oligonucléotidique

<400> 5
 aacagggtgt gcgtggagga a

21

<210> 6
 <211> 1183
 <212> ADN
 <213> Mus musculus

<400> 6
gatatcattc cgagggaaaat attgaataca tatttactat ggagtcatgt atattaaga 60
aatgcacaca gcatgcatt atgcctccctt ccacgtctcg gaaacactgg aggaaggtag 120
gcagggagtg tgtttaggat ggaatttaaa atttatccgg gcattttat ttaagggcat 180
ctcagatcta tcaccaagga ttcccactta gaaaatttgg acaaacataag cctcaaaatg 240
aaaagtgaaa aaaatgggtt aataccacag taaaaatatt catgaatccg acagtgtata 300
acaaaagaggc cagctactaa gtgtagaaag aataaaggat tctgagaaat catcatgtga 360
caaacatcat catagcgagt gtgtctggca agggaccca gcagttggta aatgatcggg 420
cgacaattcc ttgggtaaca aacaaacgag ttgcagagtg tcaggtgacc ttgcttagtg 480
tagtagttgg actggataat gaatagcaga gcacctgaa atctgaggac gttatagttg 540
ttttaaaaat gtcttcacaa ggccctcatg ttgtgtaaag gagattttaa aatttttagtt 600
caacaaaaag aagacatgtt tactgtgtat cttagcctgt ttagttctg ggacagacac 660
catagatacc gagctgaaac aacaagtgtctt accccac agttccaggc cgtggaaagt 720
acaacatcaa agctctgtgt caagtgggtgt ccgtgaggat ccatttcctg ctatgcagat 780
gctgcaaaca tatgactccg gcctcttcctt cttcttaag ggcatgtgtc tgaagtgggg 840
tgggtggca tcctcatgac ttcatctgtg tttccctag agatagcccc tttggtagg 900
gttttaacat agatgtttgg tgcacacata catttagtct atgatagtct ctagcaacag 960
ccagttggga gggaggaga gggagaggga gagagagaga gagagagaac acatgtatgc 1020
gagtcgtgtga ttcttagctt ctttagcttct tatattttagt ctaattttca tttattttat 1080
gattctggaa ctctgttgtt ttattacttt gaaattcttag gactccaaat aaatattttt 1140
gatctaaaaa tattatcatt attttattct gatcccagaa ttc 1183